

ANEXO 3: TABLAS Y GRÁFICOS DEL ESTUDIO EMPÍRICO

1. ANÁLISIS DE LA VARIANZA (ANOVA MIXTO)

1.1. Análisis de Normalidad (Tablas 1-14)

Tabla 1. Prueba de Kolmogorov-Smirnov

		Tamaño Act.Total.1	Tamaño Act.Total.2	Tamaño Act.Total.3	Tamaño Act.Total.4
Parámetros normales ^{a,b}	Media	359.778.740,7	395.489.360,19	410.633.830,40	448.164.840
	Desviación típica	1338929210,2	1514657120,22	1580169940,61	171.537.023
Diferencias más extremas	Absoluta	0,394	0,397	0,398	0,397
	Positiva	0,355	0,370	0,371	0,365
	Negativa	-0,394	-0,397	-0,398	-0,397
Z de Kolmogorov-Smirnov		30,002	30,025	30,028	30,024
Sig. asintótica (bilateral)		0,000	0,000	0,000	0,000

Tabla 2. Prueba de Kolmogorov-Smirnov

		Tamaño Act. Total.5	Tamaño Act. Total.6	In tamaño.1	In tamaño.2
Parámetros normales ^{a,b}	Media	463.122.740,98	481.565.620,69	140,935	150,0067
	Desviación típica	1.778.210.460,14	1.821.101.050,195	20,1215	20,11413
Diferencias más extremas	Absoluta	0,397	0,396	0,104	0,093
	Positiva	0,367	0,384	0,104	0,093
	Negativa	-0,397	-0,396	-0,072	-0,067
Z de Kolmogorov-Smirnov		30,026	30,015	0,792	0,707
Sig. asintótica(bilateral)		0,000	0,000	0,557	0,699

Tabla 3. Prueba de Kolmogorov-Smirnov

		In tamaño.3	In tamaño.4	In tamaño.5	In tamaño.6	ALFA.1
Parámetros normales ^{a,b}	Media	150,035951	150,138719	150,161900	150,162007	-0,017950
	Desviación típica	20,1461765	20,1649580	20,1640621	20,1985025	0,131273
Diferencias más extremas	Absoluta	0,089	0,088	0,090	0,081	0,513
	Positiva	0,089	0,088	0,090	0,081	0,438
	Negativa	-0,064	-0,072	-0,066	-0,060	-0,513
Z de Kolmogorov-Smirnov		0,676	0,674	0,689	0,619	30,904
Sig. asintótica (bilateral)		0,750	0,754	0,730	0,838	0,000

Tabla 4. Prueba de Kolmogorov-Smirnov

		ALFA.2	ALFA.3	ALFA.4	ALFA.5	ALFA.6
Parámetros normales ^{a,b}	Media	-0,000988	0,000299	0,000028	-0,000204	0,000364
	Desviación típica	0,0016448	0,0009996	0,0010150	0,0009013	0,0021716
Diferencias más extremas	Absoluta	0,073	0,075	0,085	0,069	0,201
	Positiva	0,072	0,066	0,069	0,056	0,201
	Negativa	-0,073	-0,075	-0,085	-0,069	-0,125
Z de Kolmogorov-Smirnov		0,553	0,569	0,645	0,527	10,527
Sig. asintótica (bilateral)		0,920	0,902	0,799	0,944	0,019

Tabla 5. Prueba de Kolmogorov-Smirnov

		BETA.1	BETA.2	BETA.3	BETA.4	BETA.5
Parámetros normales ^{a,b}	Media	0,876637	0,707611	0,765161	0,665542	0,746019
	Desviación típica	0,3520842	0,2803754	0,4197343	0,3135418	0,3178461
Diferencias más extremas	Absoluta	0,159	0,069	0,091	0,064	0,066
	Positiva	0,073	0,069	0,091	0,055	0,051
	Negativa	-0,159	-0,063	-0,057	-0,064	-0,066
Z de Kolmogorov-Smirnov		10,213	0,522	0,692	0,489	0,502
Sig. asintótica (bilateral)		0,105	0,948	0,724	0,971	0,963

Tabla 6. Prueba de Kolmogorov-Smirnov

		BETA.6	ROA.1	ROA.2	ROA.3	ROA.4
Parámetros normales ^{a,b}	Media	0,684673	80,661724	60,202241	40,176552	50,073966
	Desviación típica	0,3634468	90,9436035	70,2111780	60,6710210	60,5496586
Diferencias más extremas	Absoluta	0,102	0,222	0,166	0,145	0,126
	Positiva	0,102	0,222	0,146	0,100	0,126
	Negativa	-0,066	-0,177	-0,166	-0,145	-0,096
Z de Kolmogorov-Smirnov		0,774	10,692	10,267	10,104	0,961
Sig. asintótica (bilateral)		0,587	0,007	0,081	0,175	0,314

Tabla 7. Prueba de Kolmogorov-Smirnov

		ROA.5	ROA.6	ROE.1	ROE.2	ROE.3
Parámetros normales ^{a,b}	Media	40,70517	20,907193	210,795000	130,801207	120,215690
	Desviación típica	60,67994	60,8696176	270,2260989	260,2873399	220,4528173
Diferencias más extremas	Absoluta	0,165	0,127	0,181	0,158	0,097
	Positiva	0,147	0,127	0,181	0,089	0,097
	Negativa	-0,165	-0,112	-0,173	-0,158	-0,086
Z de Kolmogorov-Smirnov		10,259	0,960	10,375	10,203	0,740
Sig. asintótica (bilateral)		0,084	0,316	0,046	0,111	0,643

Tabla 8. Prueba de Kolmogorov-Smirnov

		ROE.4	ROE.5	ROE.6	END.1
Parámetros normales ^{a,b}	Media	130,199310	110,336724	-20,747018	340,599483
	Desviación típica	20,6964679	210,3199557	410,9085648	20,8515667
Diferencias más extremas	Absoluta	0,114	0,194	0,252	0,071
	Positiva	0,114	0,131	0,159	0,071
	Negativa	-0,094	-0,194	-0,252	-0,052
Z de Kolmogorov-Smirnov		0,871	10,477	10,906	0,543
Sig. asintótica (bilateral)		0,434	0,025	0,001	0,930

Tabla 9. Prueba de Kolmogorov-Smirnov

		END.2	END.3	END.4	END.5
Parámetros normales ^{a,b}	Media	360,809310	370,097586	370,035862	360,443655
	Desviación típica	210,2619536	20,6810210	210,2057809	210,0031071
Diferencias más extremas	Absoluta	0,072	0,069	0,056	0,060
	Positiva	0,072	0,069	0,056	0,060
	Negativa	-0,052	-0,041	-0,042	-0,054
Z de Kolmogorov-Smirnov		0,548	0,525	0,430	0,459
Sig. asintótica (bilateral)		0,924	0,945	0,993	0,984

Tabla 10. Prueba de Kolmogorov-Smirnov

		END.6	P.V.C. 1	P.V.C.2	P.V.C.3
Parámetros normales ^{a,b}	Media	370,080431	50,466379	40,197069	20,874138
	Desviación típica	210,3016529	70,1073912	40,0535802	40,1258535
Diferencias más extremas	Absoluta	0,063	0,277	0,244	0,290
	Positiva	0,052	0,277	0,244	0,257
	Negativa	-0,063	-0,262	-0,216	-0,290
Z de Kolmogorov-Smirnov		0,479	20,110	10,861	20,208
Sig. asintótica (bilateral)		0,976	0,000	0,002	0,000

Tabla 11. Prueba de Kolmogorov-Smirnov

		P.V.C.4	P.V.C.5	P.V.C.6	Q deTOBIN.1
Parámetros normales ^{a,b}	Media	20,432069	20,463103	0,346274	0,082414
	Desviación típica	30,1909212	20,6817834	0,2104867	120,5329212
Diferencias más extremas	Absoluta	0,263	0,236	0,085	0,480
	Positiva	0,255	0,190	0,085	0,326
	Negativa	-0,263	-0,236	-0,051	-0,480
Z de Kolmogorov-Smirnov		20,004	10,794	30,657	0,644
Sig. asintótica (bilateral)		0,001	0,003	0,000	0,801

		Q de TOBIN.2	Q de TOBIN.3	Q de TOBIN.4	Q de TOBIN.5
Parámetros normales ^{a,b}	Media	0,363893	0,372828	0,367127	0,362423
	Desviación típica	0,2151968	0,2088789	0,2129550	0,2100436
Diferencias más extremas	Absoluta	0,072	0,056	0,054	0,059
	Positiva	0,072	0,056	0,054	0,059
	Negativa	-0,057	-0,042	-0,046	-0,049
Z de Kolmogorov-Smirnov		0,548	0,423	0,411	0,451
Sig. asintótica (bilateral)		0,925	0,994	0,996	0,987

		Q de TOBIN.6	B°ACCIÓN.1	B°ACCIÓN.2	B°ACCIÓN.3
Parámetros normales ^{a,b}	Media	0,348967	10,647259	10,535952	10,469636
	Desviación típica	0,2065719	30,5373528	40,1753290	40,8493369
Diferencias más extremas	Absoluta	0,057	0,306	0,309	0,334
	Positiva	0,057	0,306	0,309	0,334
	Negativa	-0,051	-0,286	-0,304	-0,306
Z de Kolmogorov-Smirnov		0,430	20,332	20,350	20,547
Sig. asintótica (bilateral)		0,993	0,000	0,000	0,000

		B°ACCIÓN.4	B°ACCIÓN.5	B°ACCIÓN.6
Parámetros normales ^{a,b}	Media	10,679234	10,380409	10,367367
	Desviación típica	50,0422520	50,8240118	50,7544791
Diferencias más extremas	Absoluta	0,317	0,344	0,336
	Positiva	0,285	0,344	0,336
	Negativa	-0,317	-0,323	-0,258
Z de Kolmogorov-Smirnov		20,414	20,617	20,534
Sig. asintótica (bilateral)				

1.2. Resultados del ANOVA MIXTO (Tablas 15 -113 / Gráficos 1- 7)

1.2.1. Alfa (Tablas 15 -28 / Gráfico 1)

Tabla 15. Factores intra-sujetos

Alfa	Variable dependiente
1	ALFA.1
2	ALFA.2
3	ALFA.3
4	ALFA.4
5	ALFA.5
6	ALFA.6

Tabla 16. Factores inter-sujetos

		N
FTSE	0	36
	1	22

Tabla 17. Prueba de Box sobre la igualdad de las matrices de covarianzas^a

M de Box	2390,823
F	90,976
gl1	21
gl2	72920,841
Sig.	0,000

Tabla 18. Prueba de esfericidad de Mauchly^a

Efecto intra-sujetos	W de Mauchly	Chi-cuadrado aprox.	Gl	Sig.	Epsilon ^b		
					Greenhouse-Geisser	Huynh-Feldt	Límite inferior
Alfa	0,000	16090,739	14	0,000	0,200	0,204	0,200

Tabla 19. Pruebas de efectos intra-sujetos

Origen		Suma de cuadrados tipo III	gl	Media cuadrática	F	Sig.	Eta al cuadrado parcial
Tiempo	Esfericidad asumida	0,010	5	0,002	0,661	0,654	0,012
	Greenhouse-Geisser	0,010	10,001	0,010	0,661	0,420	0,012
	Huynh-Feldt	0,010	10,019	0,009	0,661	0,422	0,012
	Límite inferior	0,010	10,000	0,010	0,661	0,420	0,012
FTSE*Tiempo	Esfericidad asumida	0,009	5	0,002	0,636	0,673	0,011
	Greenhouse-Geisser	0,009	10,001	0,009	0,636	0,429	0,011
	Huynh-Feldt	0,009	10,019	0,009	0,636	0,431	0,011
	Límite inferior	0,009	10,000	0,009	0,636	0,429	0,011
Error(Tiempo)	Esfericidad asumida	0,808	280	0,003			
	Greenhouse-Geisser	0,808	560,048	0,014			
	Huynh-Feldt	0,808	570,070	0,014			
	Límite inferior	0,808	560,000	0,014			

Tabla 20. Contraste de Levene sobre la igualdad de las varianzas error^a

	F	gl1	gl2	Sig.
ALFA.1	20,506	1	56	0,119
ALFA.2	0,594	1	56	0,444
ALFA.3	0,020	1	56	0,887
ALFA.4	0,000	1	56	0,989
ALFA.5	0,547	1	56	0,463
ALFA.6	10,580	1	56	0,214

Tabla 21. Pruebas de los efectos inter-sujetos

Origen	Suma de cuadrados tipo III	gl	Media cuadrática	F	Sig.	Eta al cuadrado parcial
Intersección	0,002	1	0,002	0,676	0,414	0,012
FTSE	0,002	1	0,002	0,737	0,394	0,013
Error	0,164	56	0,003			

Comparaciones múltiples y comparaciones *post hoc*

1. Tiempo

Tabla 22. Estimaciones

Alfa	Media	Error típico	Intervalo de confianza 95%	
			Límite inferior	Límite superior
1	-0,014	0,018	-0,050	0,021
2	-0,001	0,000	-0,001	0,000
3	0,000	0,000	-10,256E-005	0,001
4	40,288E-005	0,000	0,000	0,000
5	0,000	0,000	0,000	90,697E-005
6	0,000	0,000	0,000	0,001

Tabla 23. Comparaciones por pares

(I)Alfa	(J)Alfa	Diferencia de medias (I-J)	Error típico	Sig. ^b	Intervalo de confianza al 95 % para la diferencia ^b	
					Límite inferior	Límite superior
1	2	-0,014	0,018	10,000	-0,068	0,041
	3	-0,015	0,018	10,000	-0,0069	0,040
	4	-0,015	0,018	10,000	-0,069	0,040
	5	-0,014	0,018	10,000	-0,069	0,040
	6	-0,015	0,018	10,000	-0,070	0,040
2	1	0,014	0,018	10,000	-0,041	0,068
	3	-0,001*	0,000	0,003	-0,002	0,000
	4	-0,001*	0,000	0,001	-0,002	0,000
	5	-0,001*	0,000	0,014	-0,001	-80,943E-005
	6	-0,001*	0,000	0,000	-0,002	0,000
3	1	0,015	0,018	10,000	-0,040	0,069
	2	0,001*	0,000	0,003	0,000	0,002
	4	0,000	0,000	10,000	0,000	0,001
	5	0,000	0,000	0,451	0,000	0,001
	6	0,000	0,000	10,000	-0,001	0,001
4	1	0,015	0,018	10,000	-0,040	0,069
	2	0,001*	0,000	0,001	0,000	0,002
	3	0,000	0,000	10,000	-0,001	0,000
	5	0,000	0,000	10,000	0,000	0,001
	6	0,000	0,000	10,000	-0,001	0,000
5	1	0,014	0,018	10,000	-0,040	0,069
	2	0,001*	0,000	0,014	80,943E-005	0,001
	3	0,000	0,000	0,451	-0,001	0,000
	4	0,000	0,000	10,000	-0,001	0,000
	6	-0,001	0,000	0,793	-0,001	0,000
6	1	0,015	0,018	10,000	-0,040	0,070
	2	0,001*	0,000	0,000	0,000	0,002
	3	0,000	0,000	10,000	-0,001	0,001
	4	0,000	0,000	10,000	0,000	0,001
	5	0,001	0,000	0,793	0,000	0,001

Tabla 24. Contrastes multivariados

	Valor	F	Gl de la hipótesis	Gl del error	Sig.	Eta al cuadrado parcial
Traza de Pillai	0,389	60,608 ^a	50,000	520,000	0,000	0,389
Lambda de Wilks	0,611	60,608 ^a	50,000	520,000	0,000	0,389
Traza de Hotelling	0,635	60,608 ^a	50,000	520,000	0,000	0,389
Raíz mayor de Roy	0,635	60,608 ^a	50,000	520,000	0,000	0,389

Cada prueba F contrasta el efecto multivariado de Alfa. Estos contrastes se basan en las comparaciones por pares, linealmente independientes, entre las medias marginales estimadas.

a. Estadístico exacto

2. FTSE * Tiempo

Tabla 25. Estimaciones

FTSE	Alfa	Media	Error típico	Intervalo de confianza 95%	
				Límite inferior	Límite superior
0	1	-0,029	0,022	-0,073	0,015
	2	-0,001	0,000	-0,002	-0,001
	3	0,000	0,000	0,000	0,001
	4	-10,732E-005	0,000	0,000	0,000
	5	0,000	0,000	-0,001	0,000
	6	0,000	0,000	-0,001	0,001
1	1	-90,610E-005	0,028	-0,056	0,056
	2	0,000	0,000	-0,001	0,000
	3	80,012E-005	0,000	0,000	0,001
	4	0000	0,000	0,000	0,001
	5	0,000	0,000	0,000	0,001
	6	0,001	0,000	0,000	0,002

3. FTSE

Tabla 26. Estimaciones

FTSE	Media	Error típico	Intervalo de confianza 95%	
			Límite inferior	Límite superior
0	-0,005	0,004	-0,012	0,002
1	0,000	0,005	-0,009	0,010

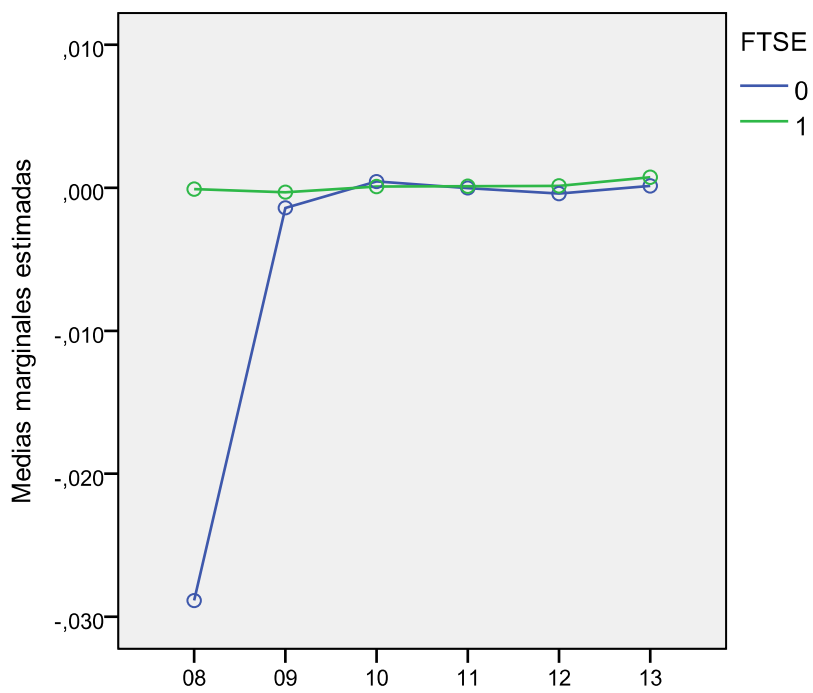
Tabla 27. Comparaciones por pares

(I)FTSE	(J)FTSE	Diferencia de medias (I-J)	Error típico	Sig. ^a	Intervalo de confianza al 95 % para la diferencia ^a	
					Límite inferior	Límite superior
0	1	-0,005	0,006	0,394	-0,017	0,007
1	0	0,005	0,006	0,394	-0,007	0,017

Tabla 28. Contrastes univariados

	Suma de cuadrados	gl	Media cuadrática	F	Sig.	Eta al cuadrado parcial
Contraste	0,000	1	0,000	0,737	0,394	0,013
Error	0,027	56	0,000			

Gráfico 1. Perfil de Alfa



1.2.2. Beta (Tablas 29 - 42 / Gráfico 2)

Tabla 29. Factores intra-sujetos

Beta	Variable dependiente
1	BETA.1
2	BETA.2
3	BETA.3
4	BETA.4
5	BETA.5
6	BETA.6

Tabla 30. Factores inter-sujetos

	N	
FTSE	0	36
	1	22

Tabla 31. Prueba de Box sobre la igualdad de las matrices de covarianzas^a

M de Box	30,201
F	10,256
gl1	21
gl2	72920,841
Sig.	0,193

Tabla 32. Prueba de esfericidad de Mauchly^a

Efecto intra-sujetos	W de Mauchly	Chi-cuadrado aprox.	gl	Sig.	Epsilon ^b		
					Greenhouse-Geisser	Huynh-Feldt	Límite inferior
Beta	0,345	570,557	14	0,000	0,747	0,821	0,200

Tabla 33. Pruebas de efectos intra-sujetos

Origen		Suma de cuadrados tipo III	gl	Media cuadrática	F	Sig.	Eta al cuadrado parcial
Tiempo	Esfericidad asumida	10,283	5	0,257	80,104	0,000	0,126
	Greenhouse-Geisser	10,283	30,735	0,344	80,104	0,000	0,126
	Huynh-Feldt	10,283	40,106	0,312	80,104	0,000	0,126
	Límite-inferior	10,283	10,000	10,283	80,104	0,006	0,126
FTSE*Tiempo	Esfericidad asumida	0,495	5	0,099	30,124	0,009	0,053
	Greenhouse-Geisser	0,495	30,735	0,132	30,124	0,018	0,053
	Huynh-Feldt	0,495	40,106	0,120	30,124	0,015	0,053
	Límite-inferior	0,495	10,000	0,495	30,124	0,083	0,053
Error(tiempo)	Esfericidad asumida	80,866	280	0,032			
	Greenhouse-Geisser	80,866	2090,152	0,042			
	Huynh-Feldt	80,866	2290,958	0,039			
	Límite-inferior	80,866	560,000	0,158			

Tabla 34. Contraste de Levene sobre la igualdad de las varianzas error^a

	F	gl1	gl2	Sig.
BETA.1	20,199	1	56	0,144
BETA.2	0,249	1	56	0,620
BETA.3	10,798	1	56	0,185
BETA.4	0,192	1	56	0,663
BETA.5	0,007	1	56	0,934
BETA.6	0,033	1	56	0,857

Tabla 35. Pruebas de los efectos inter-sujetos

Origen	Suma de cuadrados tipo III	gl	Media cuadrática	F	Sig.	Eta al cuadrado parcial
Intersección	1960,740	1	1960,740	4460,611	0,000	0,889
FTSE	60,450	1	60,450	140,643	0,000	0,207
Error	240,669	56	0,441			

Comparaciones múltiples y comparaciones *post hoc*

1. Tiempo

Beta	Media	Error típico	Intervalo de confianza 95%	
			Límite inferior	Límite superior
1	0,892	0,047	0,797	0,987
2	0,740	0,034	0,673	0,808
3	0,808	0,052	0,704	0,913
4	0,702	0,038	0,627	0,778
5	0,778	0,040	0,699	0,858
6	0,728	0,044	0,640	0,815

(I)Beta	(J)Beta	Diferencia de medias (I-J)	Error típico	Sig. ^b	Intervalo de confianza al 95 % para la diferencia ^b	
					Límite inferior	Límite superior
1	2	0,151*	0,033	0,000	0,050	0,253
	3	0,084	0,045	10,000	-0,055	0,222
	4	0,190*	0,034	0,000	0,085	0,294
	5	0,113	0,038	0,058	-0,002	0,229
	6	0,164*	0,043	0,006	0,031	0,297
2	1	-0,151*	0,033	0,000	-0,253	-0,050
	3	-0,068	0,036	10,000	-0,179	0,044
	4	0,038	0,026	10,000	-0,041	0,117
	5	-0,038	0,027	10,000	-0,120	0,043
	6	0,013	0,032	10,000	-0,086	0,111
3	1	-0,084	0,045	10,000	-0,222	0,055
	2	0,068	0,036	10,000	-0,044	0,179
	4	0,106*	0,034	0,044	0,002	0,210
	5	0,030	0,034	10,000	-0,074	0,133
	6	0,081	0,040	0,744	-0,043	0,204
4	1	-0,190*	0,034	0,000	-0,294	-0,085
	2	-0,038	0,026	10,000	-0,117	0,041
	3	-0,106*	0,034	0,044	-0,210	-0,002
	5	-0,076*	0,020	0,006	-0,138	-0,015
	6	-0,025	0,033	10,000	-0,128	0,077
5	1	-0,113	0,038	0,058	-0,229	0,002
	2	0,038	0,027	10,000	-0,043	0,120
	3	-0,030	0,034	10,000	-0,133	0,074
	4	0,076*	0,020	0,006	0,015	0,138
	6	0,051	0,026	0,792	-0,028	0,129
6	1	-0,164*	0,043	0,006	-0,297	-0,031
	2	-0,013	0,032	10,000	-0,111	0,086
	3	-0,081	0,040	0,744	-0,204	0,043
	4	0,025	0,033	10,000	-0,077	0,128
	5	-0,051	0,026	0,792	-0,129	0,028

Tabla 38. Contrastes multivariados

	Valor	F	Gl de la hipótesis	Gl del error	Sig.	Eta al cuadrado parcial
Traza de Pillai	0,501	10,425 ^a	50,000	520,000	0,000	0,501
Lambda de Wilks	0,499	10,425 ^a	50,000	520,000	0,000	0,501
Traza de Hotelling	10,002	10,425 ^a	50,000	520,000	0,000	0,501
Raíz mayor de Roy	10,002	10,425 ^a	50,000	520,000	0,000	0,501

2. FTSE * Tiempo

Tabla 39. Estimaciones

FTSE	Beta	Media	Error típico	Intervalo de confianza 95%	
				Límite inferior	Límite superior
0	1	0,829	0,058	0,712	0,946
	2	0,605	0,042	0,521	0,688
	3	0,630	0,064	0,501	0,758
	4	0,550	0,046	0,457	0,643
	5	0,644	0,049	0,547	0,742
	6	0,550	0,054	0,442	0,657
1	1	0,955	0,075	0,805	10,104
	2	0,876	0,053	0,770	0,982
	3	0,987	0,082	0,822	10,151
	4	0,855	0,059	0,736	0,974
	5	0,913	0,062	0,788	10,037
	6	0,906	0,069	0,768	10,043

3. FTSE

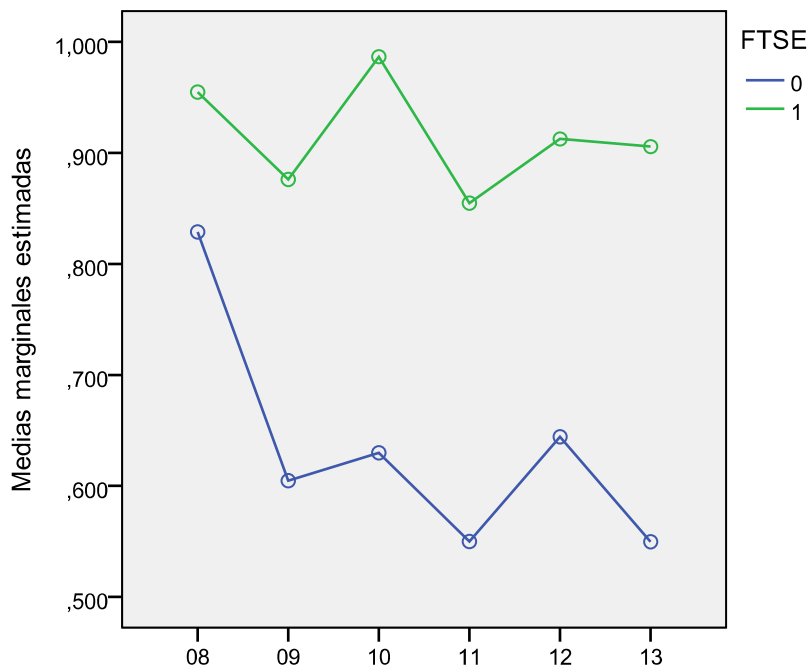
Tabla 40. Estimaciones

FTSE	Media	Error típico	Intervalo de confianza 95%	
			Límite inferior	Límite superior
0	0,635	0,045	0,544	0,725
1	0,915	0,058	0,799	10,031

Tabla 41. Comparaciones por pares

(I)FTSE	(J)FTSE	Diferencia de medias (I-J)	Error típico	Sig. ^b	Intervalo de confianza al 95 % para la diferencia ^b	
					Límite inferior	Límite superior
0	1	-0,281*	0,073	0,000	-0,427	-0,134
1	0	0,281*	0,073	0,000	0,134	0,427

	Suma de cuadrados	gl	Media cuadrática	F	Sig.	Eta al cuadrado parcial
Contraste	10,075	1	10,075	140,643	0,000	0,207
Error	40,112	56	0,073			

Gráfico 2. Perfil de Beta

1.2.3. ROA (Tablas 43 - 56 / Gráfico 3)

Tabla 43. Factores intra-sujetos

ROA	Variable dependiente
1	ROA.1
2	ROA.2
3	ROA.3
4	ROA.4
5	ROA.5
6	ROA.6

Tabla 44. Factores inter-sujetos

	N	
FTSE	0	36
	1	21

Tabla 45. Prueba de Box sobre la igualdad de las matrices de covarianzas^a

M de Box	1460,322
F	60,054
gl1	21
gl2	65170,316
Sig.	0,000

Tabla 46. Prueba de esfericidad de Mauchly^a

Efecto intra-sujetos	W de Mauchly	Chi-cuadrado aprox.	gl	Sig.	Epsilon ^b		
					Greenhouse-Geisser	Huynh-Feldt	Límite inferior
ROA	0,090	1270,837	14	0,000	0,472	0,504	0,200

Tabla 47. Pruebas de efectos intra-sujetos

	Origen	Suma de cuadrados tipo III	gl	Media cuadrática	F	Sig.	Eta al cuadrado parcial
Tiempo	Esfericidad asumida	8530,715	5	170,743	70,477	0,000	0,120
	Greenhouse-Geisser	8530,715	20,361	3610,538	70,477	0,000	0,120
	Huynh-Feldt	8530,715	20,519	3380,911	70,477	0,000	0,120
	Límite-inferior	8530,715	10,000	8530,715	70,477	0,008	0,120
FTSE*Tiempo	Esfericidad asumida	920,887	5	180,577	0,814	0,541	0,015
	Greenhouse-Geisser	920,887	20,361	390,336	0,814	0,463	0,015
	Huynh-Feldt	920,887	20,519	360,875	0,814	0,470	0,015
	Límite-inferior	920,887	10,000	920,887	0,814	0,371	0,015
Error(ROA)	Esfericidad asumida	62790,744	275	220,835			
	Greenhouse-Geisser	62790,744	1290,874	480,353			
	Huynh-Feldt	62790,744	1380,545	450,327			
	Límite-inferior	62790,744	550,000	1140,177			

Tabla 48. Contraste de Levene sobre la igualdad de las varianzas error^a

	F	gl1	gl2	Sig.
ROA.1	20,317	1	55	0,134
ROA.2	20,367	1	55	0,130
ROA.3	20,877	1	55	0,096
ROA.4	30,578	1	55	0,064
ROA.5	30,106	1	55	0,084
ROA.6	90,724	1	55	0,003

Tabla 49. Pruebas de los efectos inter-sujetos

Origen	Suma de cuadrados tipo III	gl	Media cuadrática	F	Sig.	Eta al cuadrado parcial
Intersección	83830,923	1	83830,923	390,145	0,000	0,416
FTSE	0,169	1	0,169	0,001	0,978	0,000
Error	117790,739	55	2140,177			

Comparaciones múltiples y comparaciones *post hoc*

1. Tiempo

Tabla 50. Estimaciones

ROA	Media	Error típico	Intervalo de confianza 95%	
			Límite inferior	Límite superior
1	80,198	10,349	50,495	10,902
2	60,072	0,991	40,086	80,058
3	40,307	0,921	20,460	60,154
4	40,821	0,896	30,026	60,616
5	40,373	0,913	20,542	60,203
6	30,022	0,950	10,118	40,926

Tabla 51. Comparaciones por pares

(I)ROA	(J)ROA	Diferencia de medias (I-J)	Error típico	Sig. ^b	Intervalo de confianza al 95 % para la diferencia ^b	
					Límite inferior	Límite superior
1	2	20,126	0,852	0,234	-0,487	40,740
	3	30,891*	10,114	0,014	0,473	70,309
	4	30,377	10,148	0,071	-0,145	60,900
	5	30,826	10,300	0,071	-0,165	70,816
	6	50,176*	10,452	0,011	0,721	90,631
2	1	-20,126	0,852	0,234	-40,740	0,487
	3	10,765	0,724	0,271	-0,458	30,988
	4	10,251	0,772	10,000	-10,117	30,619
	5	10,699	0,926	10,000	-10,141	40,540
	6	30,050*	0,979	0,044	0,047	60,053
3	1	-30,891*	10,114	0,014	-70,309	-0,473
	2	-10,765	0,724	0,271	-30,988	0,458
	4	-0,514	0,452	10,000	-10,902	0,874
	5	-0,066	0,852	10,000	-20,681	20,550
	6	10,285	0,804	10,000	-10,181	30,751
4	1	-30,377	10,148	0,071	-60,900	0,145
	2	-10,251	0,772	10,000	-30,619	10,117
	3	0,514	0,452	10,000	-0,874	10,902
	5	0,448	0,704	10,000	-10,711	20,608
	6	10,799	0,684	0,166	-0,301	30,899
5	1	-30,826	10,300	0,071	-70,816	0,165
	2	-10,699	0,926	10,000	-40,540	10,141
	3	0,066	0,852	10,000	-20,550	20,681
	4	-0,448	0,704	10,000	-20,608	10,711
	6	10,351	0,597	0,417	-0,483	30,184
6	1	-50,176*	10,452	0,011	-90,631	-0,721
	2	-30,050*	0,979	0,044	-60,053	-0,047
	3	-10,285	0,804	10,000	-30,751	10,181
	4	-10,799	0,684	0,166	-30,899	0,301
	5	-10,351	0,597	0,417	-30,184	0,483

Tabla 52. Contrastes multivariados

	Valor	F	Gl. de la hipótesis	Gl. del error	Sig.	Eta al cuadrado parcial
Traza de Pillai	0,235	30,125 ^a	50,000	510,000	0,016	0,235
Lambda de Wilks	0,765	30,125 ^a	50,000	510,000	0,016	0,235
Traza de Hotelling	0,306	30,125 ^a	50,000	510,000	0,016	0,235
Raíz mayor de Roy	0,306	30,125 ^a	50,000	510,000	0,016	0,235

2. FTSE * Tiempo

Tabla 53. Estimaciones

FTSE	ROA	Media	Error típico	Intervalo de confianza 95%	
				Límite inferior	Límite superior
0	1	80,804	10,638	50,522	120,086
	2	50,914	10,203	30,503	80,325
	3	30,490	10,119	10,248	50,732
	4	50,121	10,087	20,942	70,299
	5	50,017	10,109	20,795	70,239
	6	20,586	10,153	0,275	40,897
1	1	70,593	20,144	30,296	110,890
	2	60,230	10,575	30,074	90,386
	3	50,124	10,465	20,189	80,059
	4	40,521	10,423	10,669	70,374
	5	30,728	10,452	0,819	60,637
	6	30,458	10,510	0,432	60,484

3. FTSE

Tabla 54. Estimaciones

FTSE	Media	Error típico	Intervalo de confianza 95%	
			Límite inferior	Límite superior
0	50,155	0,996	30,160	70,151
1	50,109	10,304	20,496	70,722

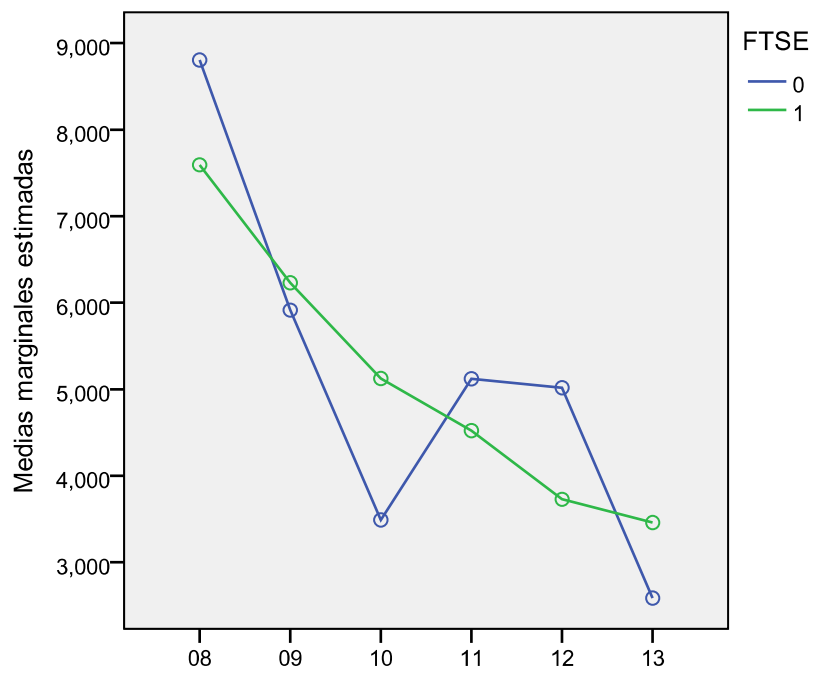
Tabla 55. Comparaciones por pares

(I)FTSE	(J)FTSE	Diferencia de medias (I-J)	Error típico	Sig. ^a	Intervalo de confianza al 95 % para la diferencia ^a	
					Límite inferior	Límite superior
0	1	0,046	10,641	0,978	-30,242	30,334
1	0	-0,046	10,641	0,978	-30,334	30,242

Tabla 56. Contrastes univariados

	Suma de cuadrados	gl	Media cuadrática	F	Sig.	Eta al cuadrado parcial
Contraste	0,028	1	0,028	0,001	0,978	0,000
Error	19630,290	55	350,696			

Gráfico 3. Perfil de ROA



1.2.4. ROE (Tablas 57 - 70 / Gráfico 4)

ROE	Variable dependiente
1	ROE.1
2	ROE.2
3	ROE.3
4	ROE.4
5	ROE.5
6	ROE.6

		N
FTSE	0	36
	1	21

M de Box	2010,369
F	80,331
gl1	21
gl2	65170,316
Sig.	0,000

Efecto intra-sujetos	W de Mauchly	Chi-cuadrado aprox.	gl	Sig.	Epsilon ^b		
					Greenhouse-Geisser	Huynh-Feldt	Límite inferior
ROE	0,077	1360,130	14	0,000	0,482	0,515	0,200

Tabla 61. Pruebas de efectos intra-sujetos

Origen	Suma de cuadrados tipo III	gl	Media cuadrática	F	Sig.	Eta al cuadrado parcial	
Tiempo	Esfericidad asumida	130880,036	5	26170,607	50,909	0,000	0,097
	Greenhouse-Geisser	130880,036	20,410	5430,980	50,909	0,002	0,097
	Huynh-Feldt	130880,036	20,574	50840,839	50,909	0,001	0,097
	Límite-inferior	130880,036	10,000	130880,036	50,909	0,018	0,097
FTSE*Tiempo	Esfericidad asumida	3420,056	5	6840,011	10,544	0,176	0,027
	Greenhouse-Geisser	3420,056	20,410	14190,178	10,544	0,213	0,027
	Huynh-Feldt	3420,056	20,574	13280,727	10,544	0,211	0,027
	Límite-inferior	3420,056	10,000	3420,056	10,544	0,219	0,027
Error(ROE)	Esfericidad asumida	1218270,876	275	4430,010			
	Greenhouse-Geisser	1218270,876	1320,544	9190,153			
	Huynh-Feldt	1218270,876	1410,566	860,571			
	Límite-inferior	1218270,876	550,000	22150,052			

Tabla 62. Contraste de Levene sobre la igualdad de las varianzas error^a

	F	gl1	gl2	Sig.
ROE.1	30,513	1	55	0,066
ROE.2	10,519	1	55	0,223
ROE.3	20,092	1	55	0,154
ROE.4	30,883	1	55	0,054
ROE.5	20,892	1	55	0,095
ROE.6	10,491	1	55	0,002

Tabla 63. Pruebas de los efectos inter-sujetos

Origen	Suma de cuadrados tipo III	gl	Media cuadrática	F	Sig.	Eta al cuadrado parcial
Intersección	487760,262	1	487760,262	210,612	0,000	0,282
FTSE	59130,574	1	59130,574	20,620	0,111	0,045
Error	1241270,826	55	22560,870			

Comparaciones múltiples y comparaciones *post hoc*

1. Tiempo

Tabla 64. Estimaciones

ROE	Media	Error típico	Intervalo de confianza 95%	
			Límite inferior	Límite superior
1	210,655	30,685	140,270	290,039
2	140,125	30,643	60,823	210,427
3	130,878	20,980	70,906	190,851
4	130,190	20,847	70,485	180,896
5	110,449	20,948	50,541	170,356
6	-0,024	50,636	-110,319	110,270

Tabla 65. Comparaciones por pares

(I)ROE	(J)ROE	Diferencia de medias (I-J)	Error típico	Sig. ^b	Intervalo de confianza al 95 % para la diferencia ^b	
					Límite inferior	Límite superior
1	2	70,530 [*]	20,106	0,011	10,066	130,994
	3	70,776	20,890	0,142	-10,094	160,646
	4	80,464	30,100	0,127	-10,050	170,979
	5	10,206	30,837	0,153	-10,570	210,982
	6	210,679 [*]	50,963	0,009	30,380	390,978
2	1	-70,530 [*]	20,106	0,011	-130,994	-10,066
	3	0,247	30,167	10,000	-90,472	90,965
	4	0,935	30,025	10,000	-80,347	10,216
	5	20,676	30,778	10,000	-80,917	140,269
	6	140,149	50,930	0,307	-40,048	320,347
3	1	-70,776	20,890	0,142	-160,646	10,094
	2	-0,247	30,167	10,000	-90,965	90,472
	4	0,688	20,098	10,000	-50,750	70,126
	5	20,429	20,820	10,000	-60,224	110,083
	6	130,903	50,908	0,333	-40,227	320,032
4	1	-80,464	30,100	0,127	-170,979	10,050
	2	-0,935	30,025	10,000	-10,216	80,347
	3	-0,688	20,098	10,000	-70,126	50,750
	5	10,741	20,543	10,000	-60,063	90,546
	6	130,215	50,199	0,208	-20,740	290,169
5	1	-10,206	30,837	0,153	-210,982	10,570
	2	-20,676	30,778	10,000	-140,269	80,917
	3	-20,429	20,820	10,000	-110,083	60,224
	4	-10,741	20,543	10,000	-90,546	60,063
	6	110,473	50,335	0,539	-40,900	270,847
6	1	-210,679 [*]	50,963	0,009	-390,978	-30,380
	2	-140,149	50,930	0,307	-320,347	40,048
	3	-130,903	50,908	0,333	-320,032	40,227
	4	-130,215	50,199	0,208	-290,169	20,740
	5	-110,473	50,335	0,539	-270,847	40,900

Tabla 66. Contrastes multivariados

	Valor	F	Gl. de la hipótesis	Gl. del error	Sig.	Eta al cuadrado parcial
Traza de Pillai	0,312	40,628 ^a	50,000	510,000	0,001	0,312
Lambda de Wilks	0,688	40,628 ^a	50,000	510,000	0,001	0,312
Traza de Hotelling	0,454	40,628 ^a	50,000	510,000	0,001	0,312
Raíz mayor de Roy	0,454	40,628 ^a	50,000	510,000	0,001	0,312

2. FTSE * Tiempo

Tabla 67. Estimaciones

FTSE	ROE	Media	Error típico	Intervalo de confianza 95%	
				Límite inferior	Límite superior
0	1	190,041	40,473	10,077	280,006
	2	110,682	40,423	20,818	20,546
	3	60,775	30,618	-0,476	140,025
	4	110,572	30,456	40,645	180,498
	5	90,712	30,579	20,540	160,883
	6	-10,370	60,841	-240,081	30,340
1	1	240,268	50,857	120,530	360,005
	2	160,568	50,791	40,963	280,174
	3	20,982	40,737	110,489	30,475
	4	140,809	40,525	50,740	230,877
	5	130,186	40,685	30,796	220,575
	6	10,321	80,958	-70,630	280,273

3. FTSE

Tabla 68. Estimaciones

FTSE	Media	Error típico	Intervalo de confianza 95%	
			Límite inferior	Límite superior
0	80,069	30,232	10,591	140,546
1	160,689	40,232	80,207	250,170

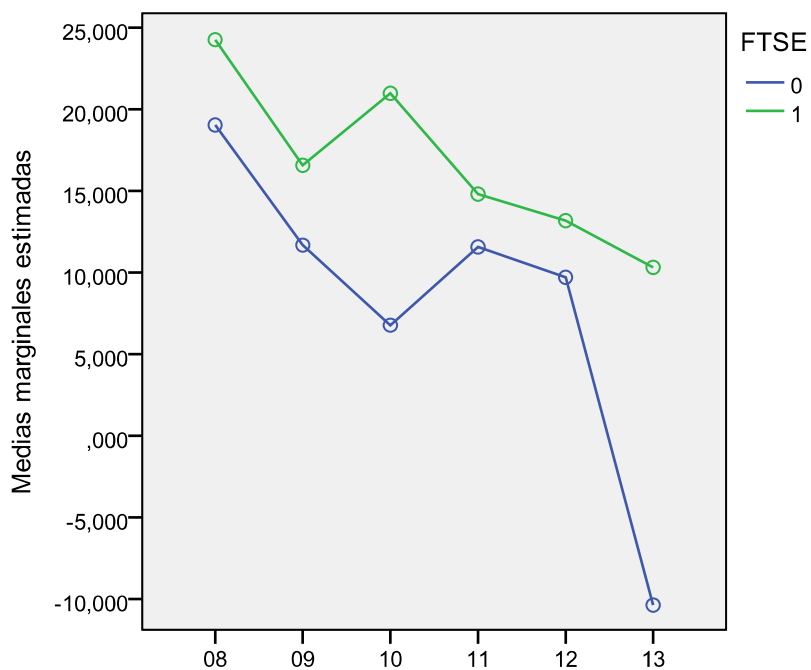
Tabla 69. Comparaciones por pares

(I)FTSE	(J)FTSE	Diferencia de medias (I-J)	Error típico	Sig. ^a	Intervalo de confianza al 95 % para la diferencia ^a	
					Límite inferior	Límite superior
0	1	-80,620	50,325	0,111	-190,293	20,052
1	0	80,620	50,325	0,111	-20,052	190,293

Tabla 70. Contrastes univariados

	Suma de cuadrados	gl	Media cuadrática	F	Sig.	Eta al cuadrado parcial
Contraste	9850,596	1	9850,596	20,620	0,111	0,045
Error	206870,971	55	3760,145			

Gráfico 4. Perfil de ROE



1.2.5. Precio Valor Contable (Tablas 71 – 84 / Gráfico 5)

Tabla 71. Factores intra-sujetos

P.V.C.	Variable dependiente
1	P.V.C.1
2	P.V.C.2
3	P.V.C.3
4	P.V.C.4
5	P.V.C.5
6	P.V.C.6

Tabla 72. Factores inter-sujetos

		N
FTSE	0	36
	1	22

Tabla 73. Prueba de Box sobre la igualdad de las matrices de covarianzas^a

M de Box	2420,958
F	10,106
gl1	21
gl2	72920,841
Sig.	0,000

Tabla 74. Prueba de esfericidad de Mauchly^a

	W de Mauchly	Chi-cuadrado aprox.	gl	Sig.	Epsilon ^b		
					Greenhouse-Geisser	Huynh-Feldt	Límite inferior
P.V.C.	0,000	5970,970	14	0,000	0,260	0,268	0,200

Tabla 75. Pruebas de efectos intra-sujetos

Origen		Suma de cuadrados tipo III	gl	Media cuadrática	F	Sig.	Eta al cuadrado parcial
Tiempo	Esfericidad asumida	7510,861	5	150,372	40,562	0,001	0,075
	Greenhouse-Geisser	7510,861	10,299	5780,978	40,562	0,027	0,075
	Huynh-Feldt	7510,861	10,340	560,945	40,562	0,026	0,075
	Límite-inferior	7510,861	10,000	7510,861	40,562	0,037	0,075
FTSE*Tiempo	Esfericidad asumida	1520,142	5	30,428	0,923	0,466	0,016
	Greenhouse-Geisser	1520,142	10,299	1170,159	0,923	0,364	0,016
	Huynh-Feldt	1520,142	10,340	1130,510	0,923	0,367	0,016
	Límite-inferior	1520,142	10,000	1520,142	0,923	0,341	0,016
Error (P.V.C.)	Esfericidad asumida	92290,061	280	320,961			
	Greenhouse-Geisser	92290,061	720,722	1260,910			
	Huynh-Feldt	92290,061	750,059	1220,957			
	Límite-inferior	92290,061	560,000	1640,805			

Tabla 76. Contraste de Levene sobre la igualdad de las varianzas error^a

	F	gl1	gl2	Sig.
P.V.C.1	40,531	1	56	0,038
P.V.C.2	70,966	1	56	0,007
P.C.V.3	30,508	1	56	0,066
P.V.C.4	20,685	1	56	0,107
P.V.C.5	20,451	1	56	0,123
P.V.C.6	10,625	1	56	0,208

Tabla 77. Pruebas de los efectos inter-sujetos

Origen	Suma de cuadrados tipo III	gl	Media cuadrática	F	Sig.	Eta al cuadrado parcial
Intersección	25840,391	1	25840,391	270,414	0,000	0,329
FTSE	690,323	1	690,323	0,735	0,395	0,013
Error	52790,257	56	940,272			

Comparaciones múltiples y comparaciones *post hoc*

1. Tiempo

Tabla 78. Estimaciones

P.V.C.	Media	Error típico	Intervalo de confianza 95%	
			Límite inferior	Límite superior
1	50,193	0,958	30,273	70,113
2	30,994	0,542	20,908	50,079
3	20,700	0,555	10,588	30,812
4	20,298	0,429	10,438	30,158
5	20,342	0,360	10,621	30,063
6	0,322	10,706	-30,095	30,739

Tabla 79. Comparaciones por pares

(I)P.V.C.	(J)P.V.C.	Diferencia de medias (I-J)	Error típico	Sig. ^b	Intervalo de confianza al 95 % para la diferencia ^b	
					Límite inferior	Límite superior
1	2	10,200	0,624	0,895	-0,714	30,113
	3	20,493*	0,622	0,003	0,585	40,402
	4	20,895*	0,698	0,002	0,755	50,035
	5	20,852*	0,680	0,001	0,768	40,935
	6	40,871	10,846	0,161	-0,790	10,532
2	1	-10,200	0,624	0,895	-30,113	0,714
	3	10,294*	0,240	0,000	0,558	20,030
	4	10,696*	0,266	0,000	0,881	20,510
	5	10,652*	0,288	0,000	0,770	20,534
	6	30,672	10,878	0,834	-20,087	90,431
3	1	-20,493*	0,622	0,003	-40,402	-0,585
	2	-10,294*	0,240	0,000	-20,030	-0,558
	4	0,402	0,170	0,323	-0,119	0,923
	5	0,358	0,257	10,000	-0,431	10,148
	6	20,378	10,797	10,000	-30,133	70,890
4	1	-20,895*	0,698	0,002	-50,035	-0,755
	2	-10,696*	0,266	0,000	-20,510	-0,881
	3	-0,402	0,170	0,323	-0,923	0,119
	5	-0,044	0,145	10,000	-0,487	0,400
	6	10,976	10,714	10,000	-30,279	70,232
5	1	-20,852*	0,680	0,001	-40,935	-0,768
	2	-10,652*	0,288	0,000	-20,534	-0,770
	3	-0,358	0,257	10,000	-10,148	0,431
	4	0,044	0,145	10,000	-0,400	0,487
	6	20,020	10,717	10,000	-30,244	70,284
6	1	-40,871	10,846	0,161	-10,532	0,790
	2	-30,672	10,878	0,834	-90,431	20,087
	3	-20,378	10,797	10,000	-70,890	30,133
	4	-10,976	10,714	10,000	-70,232	30,279
	5	-20,020	10,717	10,000	-70,284	30,244

Tabla 80. Contrastes multivariados

	Valor	F	Gl de la hipótesis	Gl del error	Sig.	Eta al cuadrado parcial
Traza de Pillai	0,479	90,550 ^a	50,000	520,000	0,000	0,479
Lambda de Wilks	0,521	90,550 ^a	50,000	520,000	0,000	0,479
Traza de Hotelling	0,918	90,550 ^a	50,000	520,000	0,000	0,479
Raíz mayor de Roy	0,918	90,550 ^a	50,000	520,000	0,000	0,479

2. FTSE * Tiempo

Tabla 81. Estimaciones

FTSE	Precio Valor Contable	Media	Error típico	Intervalo de confianza 95%	
				Límite inferior	Límite superior
0	1	60,324	10,181	30,960	80,689
	2	40,836	0,667	30,499	60,173
	3	30,421	0,684	20,052	40,790
	4	20,853	0,529	10,794	30,912
	5	20,844	0,443	10,956	30,732
	6	-0,671	20,101	-40,879	30,538
1	1	40,062	10,510	10,037	70,087
	2	30,151	0,854	10,441	40,861
	3	10,979	0,874	0,228	30,731
	4	10,743	0,676	0,388	30,098
	5	10,839	0,567	0,703	20,975
	6	10,315	20,688	-40,069	60,699

3. FTSE

Tabla 82. Estimaciones

FTSE	Media	Error típico	Intervalo de confianza 95%	
			Límite inferior	Límite superior
0	30,268	0,661	10,945	40,592
1	20,348	0,845	0,655	40,041

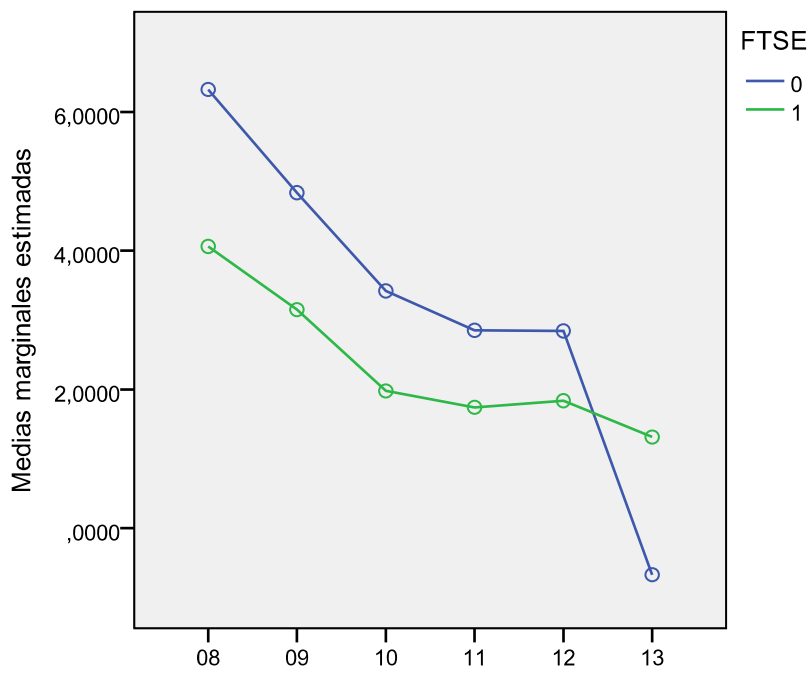
Tabla 83. Comparaciones por pares

(I)FTSE	(J)FTSE	Diferencia de medias (I-J)	Error típico	Sig. ^a	Intervalo de confianza al 95 % para la diferencia ^a	
					Límite inferior	Límite superior
0	1	0,920	10,073	0,395	-10,229	30,069
1	0	-0,920	10,073	0,395	-30,069	10,229

Tabla 84. Contrastes univariados

	Suma de cuadrados	gl	Media cuadrática	F	Sig.	Eta al cuadrado parcial
Contraste	110,554	1	110,554	0,735	0,395	0,013
Error	8790,876	56	150,712			

Gráfico 5. Perfil de Precio Valor Contable



1.2.6. Q de Tobin (Tablas 85 - 98 / Gráfico 6)

Tabla 85. Factores intra-sujetos

Q de Tobin	Variable dependiente
1	Q deTOBIN.1
2	Q deTOBIN.2
3	Q deTOBIN.3
4	Q deTOBIN.4
5	Q deTOBIN.5
6	Q deTOBIN.6

Tabla 86. Factores inter-sujetos

		N
FTSE	0	35
	1	22

Tabla 87. Prueba de Box sobre la igualdad de las matrices de covarianzas^a

M de Box	550,455
F	20,304
gl1	21
gl2	73490,955
Sig.	0,001

Tabla 88. Prueba de esfericidad de Mauchly^a

Efecto intra-sujetos	W de Mauchly	Chi-cuadrado aprox.	gl	Sig.	Epsilon ^b		
					Greenhouse-Geisser	Huynh-Feldt	Límite inferior
Q de TOBIN	0,038	1730,253	14	0,000	0,469	0,500	0,200

Tabla 89. Pruebas de efectos intra-sujetos

Origen		Suma de cuadrados tipo III	gl	Media cuadrática	F	Sig.	Eta al cuadrado parcial
Tiempo	Esfericidad asumida	0,035	5	0,007	10,065	0,380	0,019
	Greenhouse-Geisser	0,035	20,343	0,015	10,065	0,356	0,019
	Huynh-Feldt	0,035	20,499	0,014	10,065	0,358	0,019
	Límite-inferior	0,035	10,000	0,035	10,065	0,307	0,019
FTSE*Tiempo	Esfericidad asumida	0,055	5	0,011	10,691	0,137	0,030
	Greenhouse-Geisser	0,055	20,343	0,024	10,691	0,183	0,030
	Huynh-Feldt	0,055	20,499	0,022	10,691	0,180	0,030
	Límite-inferior	0,055	10,000	0,055	10,691	0,199	0,030
Error (Q de TOBIN)	Esfericidad asumida	10,796	275	0,007			
	Greenhouse-Geisser	10,796	1280,881	0,014			
	Huynh-Feldt	10,796	1370,422	0,013			
	Límite-inferior	10,796	550,000	0,033			

Tabla 90. Contraste de Levene sobre la igualdad de las varianzas error^a

	F	gl1	gl2	Sig.
Q de TOBIN.1	0,030	1	55	0,862
Q de TOBIN.2	0,008	1	55	0,931
Q de TOBIN.3	0,306	1	55	0,582
Q de TOBIN.4	0,068	1	55	0,796
Q de TOBIN.5	0,051	1	55	0,823
Q de TOBIN.6	0,381	1	55	0,540

Tabla 91. Pruebas de los efectos inter-sujetos

Origen	Suma de cuadrados tipo III	gl	Media cuadrática	F	Sig.	Eta al cuadrado parcial
Intersección	430,729	1	430,729	1850,652	0,000	0,771
FTSE	0,325	1	0,325	10,381	0,245	0,024
Error	120,955	55	0,236			

Comparaciones múltiples y comparaciones *post hoc*

1. Tiempo

Q de TOBIN	Media	Error típico	Intervalo de confianza 95%	
			Límite inferior	Límite superior
1	0,358	0,028	0,301	0,415
2	0,373	0,029	0,315	0,432
3	0,381	0,028	0,324	0,438
4	0,373	0,029	0,314	0,431
5	0,368	0,029	0,311	0,426
6	0,350	0,028	0,293	0,407

(I) Q de TOBIN	(J) Q de TOBIN	Diferencia de medias (I-J)	Error típico	Sig. ^a	Intervalo de confianza al 95 % para la diferencia ^a	
					Límite inferior	Límite superior
1	2	-0,016	0,009	10,000	-0,043	0,012
	3	-0,024	0,013	0,964	-0,062	0,015
	4	-0,015	0,013	10,000	-0,054	0,024
	5	-0,011	0,015	10,000	0,058	0,036
	6	0,007	0,024	10,000	-0,065	0,080
2	1	0,016	0,009	10,000	-0,012	0,043
	3	-0,008	0,012	10,000	-0,044	0,028
	4	0,001	0,011	10,000	-0,033	0,034
	5	0,005	0,014	10,000	-0,037	0,047
	6	0,023	0,022	10,000	-0,046	0,092
3	1	0,024	0,013	0,964	-0,015	0,062
	2	0,008	0,012	10,000	-0,028	0,044
	4	0,009	0,007	10,000	-0,014	0,031
	5	0,013	0,011	10,000	-0,020	0,046
	6	0,031	0,022	10,000	-0,036	0,098
4	1	0,015	0,013	10,000	-0,024	0,054
	2	-0,001	0,011	10,000	-0,034	0,033
	3	-0,009	0,007	10,000	-0,031	0,014
	5	0,004	0,006	10,000	-0,015	0,024
	6	0,022	0,021	10,000	-0,041	0,086
5	1	0,011	0,015	10,000	-0,036	0,058
	2	-0,005	0,014	10,000	-0,047	0,037
	3	-0,013	0,011	10,000	-0,046	0,020
	4	-0,004	0,006	10,000	-0,024	0,015
	6	0,018	0,020	10,000	-0,042	0,078
6	1	-0,007	0,024	10,000	-0,080	0,065
	2	-0,023	0,022	10,000	0,092	0,046
	3	-0,031	0,022	10,000	0,098	0,036
	4	-0,022	0,021	10,000	-0,086	0,041
	5	-0,018	0,020	10,000	0,078	0,042

Tabla 94. Contrastes multivariados

	Valor	F	Gl de la hipótesis	Gl del error	Sig.	Eta al cuadrado parcial
Traza de Pillai	0,112	10,292 ^a	50,000	510,000	0,282	0,112
Lambda de Wilks	0,888	10,292 ^a	50,000	510,000	0,282	0,112
Traza de Hotelling	0,127	10,292 ^a	50,000	510,000	0,282	0,112
Raíz mayor de Roy	0,127	10,292 ^a	50,000	510,000	0,282	0,112

2. FTSE * Tiempo

Tabla 95. Estimaciones

FTSE	Q de TOBIN	Media	Error típico	Intervalo de confianza 95%	
				Límite inferior	Límite superior
0	1	0,312	0,035	0,242	0,383
	2	0,331	0,036	0,258	0,404
	3	0,343	0,035	0,272	0,414
	4	0,344	0,036	0,272	0,417
	5	0,338	0,036	0,266	0,410
	6	0,345	0,035	0,274	0,415
1	1	0,403	0,045	0,313	0,492
	2	0,415	0,046	0,323	0,507
	3	0,420	0,045	0,331	0,509
	4	0,401	0,046	0,309	0,493
	5	0,399	0,045	0,308	0,489
	6	0,356	0,044	0,267	0,445

3. FTSE

Tabla 96. Estimaciones

FTSE	Media	Error típico	Intervalo de confianza 95%	
			Límite inferior	Límite superior
0	0,336	0,033	0,268	0,403
1	0,399	0,042	0,314	0,484

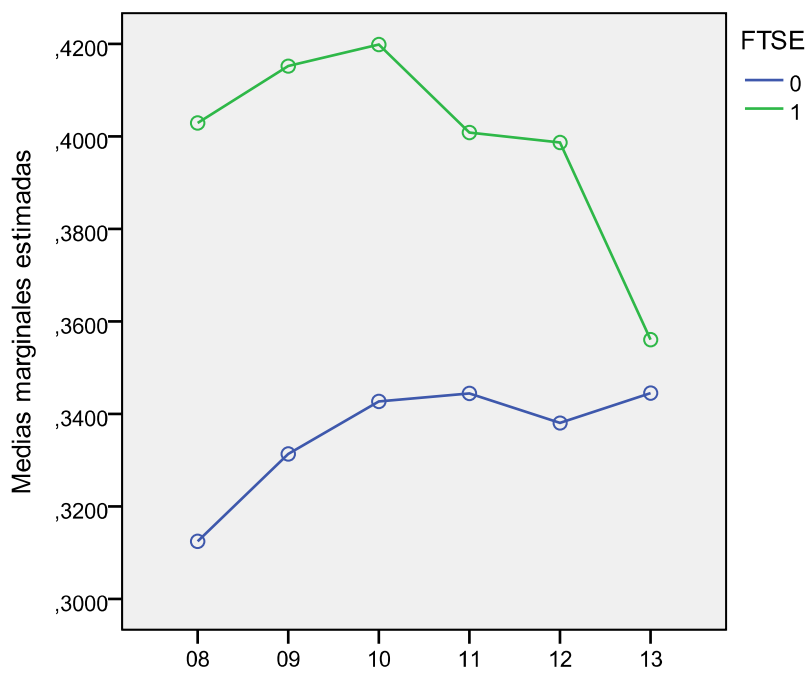
Tabla 97. Comparaciones por pares

(I)FTSE	(J)FTSE	Diferencia de medias (I-J)	Error típico	Sig. ^a	Intervalo de confianza al 95 % para la diferencia ^a	
					Límite inferior	Límite superior
0	1	-0,063	0,054	0,245	-0,171	0,045
1	0	0,063	0,054	0,245	-0,045	0,171

Tabla 98. Contrastes univariados

	Suma de cuadrados	gl	Media cuadrática	F	Sig.	Eta al cuadrado parcial
Contraste	0,054	1	0,054	10,381	0,245	0,024
Error	20,159	55	0,039			

Gráfico 6. Perfil de Q de Tobin



1.2.7. Beneficio por acción (Tablas 99 -112 / Gráfico 7)

Tabla 99. Factores intra-sujetos

B° por acción	Variable dependiente
1	B° por acción 1
2	B° por acción 2
3	B° por acción 3
4	B° por acción 4
5	B° por acción 5
6	B° por acción 6

Tabla 100. Factores inter-sujetos

	N	
FTSE	0	35
	1	22

Tabla 101. Prueba de Box sobre la igualdad de las matrices de covarianzas^a

M de Box	1910,468
F	70,955
gl1	21
gl2	73490,955
Sig.	0,000

Tabla 102. Prueba de esfericidad de Mauchly^a

Efecto intra-sujetos	W de Mauchly	Chi-cuadrado aprox.	gl	Sig.	Epsilon ^b		
					Greenhouse-Geisser	Huynh-Feldt	Limite-inferior
Beneficio por acción	0,001	3530,550	14	0,000	0,345	0,361	0,200

Tabla 103. Pruebas de efectos intra-sujetos

Origen		Suma de cuadrados tipo III	gl	Media cuadrática	F	Sig.	Eta al cuadrado parcial
B° por acción	Esfericidad asumida	40,245	5	0,849	0,164	0,975	0,003
	Greenhouse-Geisser	40,245	10,723	20,463	0,164	0,817	0,003
	Huynh-Feldt	40,245	10,806	20,350	0,164	0,828	0,003
	Límite-inferior	40,245	10,000	40,245	0,164	0,687	0,003
FTSE*Tiempo	Esfericidad asumida	30,634	5	0,727	0,141	0,983	0,003
	Greenhouse-Geisser	30,634	10,723	20,109	0,141	0,839	0,003
	Huynh-Feldt	30,634	10,806	20,012	0,141	0,849	0,003
	Límite-inferior	30,634	10,000	30,634	0,141	0,709	0,003
Error (B° por acción)	Esfericidad asumida	14220,484	275	50,173			
	Greenhouse-Geisser	14220,484	940,792	150,006			
	Huynh-Feldt	14220,484	990,353	140,318			
	Límite-inferior	14220,484	550,000	250,863			

Tabla 104. Contraste de Levene sobre la igualdad de las varianzas error^a

	F	gl1	gl2	Sig.
B° por acción.1	40,680	1	55	0,035
B° por acción.2	30,642	1	55	0,062
B° por acción.3	20,723	1	55	0,105
B° por acción.4	10,755	1	55	0,191
B° por acción.5	10,792	1	55	0,186
B° por acción.6	20,260	1	55	0,138

Tabla 105. Pruebas de los efectos inter-sujetos

Origen	Suma de cuadrados tipo III	gl	Media cuadrática	F	Sig.	Eta al cuadrado parcial
Intersección	6910,652	1	6910,652	50,587	0,022	0,092
FTSE	360,202	1	360,202	0,292	0,591	0,005
Error	68080,807	55	1230,796			

Comparaciones múltiples y comparaciones *post hoc*

1. Tiempo

Tabla 106. Estimaciones

Beneficio por acción	Media	Error típico	Intervalo de confianza 95%	
			Límite inferior	Límite superior
1	10,589	0,486	0,614	20,564
2	10,472	0,575	0,320	20,625
3	10,392	0,668	0,053	20,731
4	10,629	0,696	0,235	30,024
5	10,342	0,805	-0,272	20,955
6	10,339	0,790	-0,243	20,922

Tabla 107. Comparaciones por pares

(I)B° por acción	(J)B° por acción	Diferencia de medias (I-J)	Error típico	Sig. ^a	Intervalo de confianza al 95 % para la diferencia ^a	
					Límite inferior	Límite superior
1	2	0,117	0,169	10,000	-0,403	0,636
	3	0,197	0,245	10,000	-0,557	0,950
	4	-0,040	0,279	10,000	-0,897	0,816
	5	0,247	0,450	10,000	-10,135	10,629
	6	0,250	0,677	10,000	-10,828	20,327
2	1	-0,117	0,169	10,000	-0,636	0,403
	3	0,080	0,145	10,000	-0,365	0,525
	4	-0,157	0,185	10,000	-0,726	0,412
	5	0,131	0,340	10,000	-0,911	10,173
	6	0,133	0,647	10,000	-10,853	20,119
3	1	-0,197	0,245	10,000	-0,950	0,557
	2	-0,080	0,145	10,000	-0,525	0,365
	4	-0,237	0,109	0,501	-0,570	0,096
	5	0,051	0,251	10,000	-0,719	0,821
	6	0,053	0,642	10,000	-10,918	20,024
4	1	0,040	0,279	10,000	-0,816	0,897
	2	0,157	0,185	10,000	-0,412	0,726
	3	0,237	0,109	0,501	-0,096	0,570
	5	0,288	0,215	10,000	-0,371	0,946
	6	0,290	0,665	10,000	-10,752	20,332
5	1	-0,247	0,450	10,000	-10,629	10,135
	2	-0,131	0,340	10,000	-10,173	0,911
	3	-0,051	0,251	10,000	-0,821	0,719
	4	-0,288	0,215	10,000	-0,946	0,371
	6	0,002	0,692	10,000	-20,121	20,125
6	1	0,250	0,677	10,000	-20,327	10,828
	2	-0,133	0,647	10,000	-20,119	10,853
	3	-0,053	0,642	10,000	-20,024	10,918
	4	-0,290	0,665	10,000	-20,332	10,752
	5	-0,002	0,692	10,000	-20,125	20,121

Tabla 108. Contrastes multivariados

	Valor	F	Gl de la hipótesis	Gl del error	Sig.	Eta al cuadrado parcial
Traza de Pillai	0,119	10,374 ^a	50,000	510,000	0,250	0,119
Lambda de Wilks	0,881	10,374 ^a	50,000	510,000	0,250	0,119
Traza de Hotelling	0,135	10,374 ^a	50,000	510,000	0,250	0,119
Raíz mayor de Roy	0,135	10,374 ^a	50,000	510,000	0,250	0,119

2. FTSE * Tiempo

Tabla 109. Estimaciones

FTSE	B° por acción	Media	Error típico	Intervalo de confianza 95%	
				Límite inferior	Límite superior
0	1	10,967	0,604	0,755	30,178
	2	10,869	0,715	0,437	30,301
	3	10,849	0,830	0,185	30,513
	4	10,985	0,865	0,252	30,718
	5	10,637	10,000	-0,368	30,642
	6	10,462	0,981	-0,504	30,429
1	1	10,211	0,762	-0,316	20,739
	2	10,076	0,901	-0,731	20,882
	3	0,936	10,047	-10,163	30,034
	4	10,274	10,091	-0,912	30,459
	5	10,046	10,262	-10,482	30,575
	6	10,216	10,238	-10,264	30,697

3. FTSE

Tabla 110. Estimaciones

FTSE	Media	Error típico	Intervalo de confianza 95%	
			Límite inferior	Límite superior
0	10,795	0,768	0,256	30,333
1	10,126	0,968	-0,814	30,067

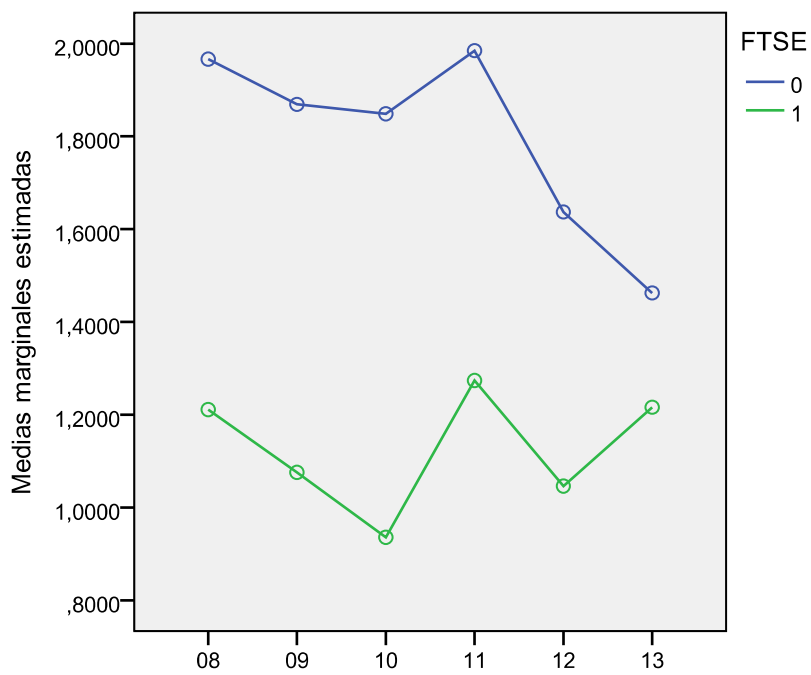
Tabla 111. Comparaciones por pares

(I)FTSE	(J)FTSE	Diferencia de medias (I-J)	Error típico	Sig. ^a	Intervalo de confianza al 95 % para la diferencia ^a	
					Límite inferior	Límite superior
0	1	0,668	10,236	0,591	-10,808	30,145
1	0	-0,668	10,236	0,591	-30,145	10,808

Tabla 112. Contrastes univariados

	Suma de cuadrados	gl	Media cuadrática	F	Sig.	Eta al cuadrado parcial
Contraste	60,034	1	60,034	0,292	0,591	0,005
Error	11340,801	55	20,633			

Gráfico 7. Perfil de Beneficio por acción



2. RESULTADOS DEL ANÁLISIS DE LA COVARIANZA (ANCOVA)

2.1. Alfa (Tablas 113-124)

Tabla 113. Prueba de Box sobre la igualdad de las matrices de covarianzas^a

M de Box	2390,823
F	90,976
gl1	21
gl2	72920,841
Sig.	0,000

Tabla 114. Prueba de esfericidad de Mauchly^a

Efecto intra-sujetos	W de Mauchly	Chi-cuadrado aprox.	gl	Sig.	Epsilon ^b		
					Greenhouse-Geisser	Huynh-Feldt	Límite-inferior
Alfa	0,000	14480,629	14	0,000	0,200	0,229	0,200

Tabla 115. Pruebas de efectos intra-sujetos

Origen		Suma de cuadrados tipo III	gl	Media cuadrática	F	Sig.	Eta al cuadrado parcial
Alfa	Esfericidad asumida	0,005	5	0,001	0,302	0,911	0,006
	Greenhouse-Geisser	0,005	10,001	0,005	0,302	0,585	0,006
	Huynh-Feldt	0,005	10,144	0,004	0,302	0,615	0,006
	Límite-inferior	0,005	10,000	0,005	0,302	0,585	0,006
Alfa * In tamaño.1	Esfericidad asumida	0,004	5	0,001	0,282	0,923	0,006
	Greenhouse-Geisser	0,004	10,001	0,004	0,282	0,598	0,006
	Huynh-Feldt	0,004	10,144	0,004	0,282	0,628	0,006
	Límite-inferior	0,004	10,000	0,004	0,282	0,598	0,006
Alfa * In tamaño.2	Esfericidad asumida	0,000	5	20,050E-005	0,007	10,000	0,000
	Greenhouse-Geisser	0,000	10,001	0,000	0,007	0,934	0,000
	Huynh-Feldt	0,000	10,144	80,961E-005	0,007	0,953	0,000
	Límite-inferior	0,000	10,000	0,000	0,007	0,934	0,000
Alfa * In tamaño.3	Esfericidad asumida	0,017	5	0,003	10,130	0,345	0,022
	Greenhouse-Geisser	0,017	10,001	0,017	10,130	0,293	0,022
	Huynh-Feldt	0,017	10,144	0,015	10,130	0,301	0,022
	Límite-inferior	0,017	10,000	0,017	10,130	0,293	0,022
Alfa * In tamaño.4	Esfericidad asumida	0,026	5	0,005	10,766	0,120	0,034
	Greenhouse-Geisser	0,026	10,001	0,026	10,766	0,190	0,034
	Huynh-Feldt	0,026	10,144	0,023	10,766	0,189	0,034
	Límite-inferior	0,026	10,000	0,026	10,766	0,190	0,034

Tabla 115. Pruebas de efectos intra-sujetos (Continuación)

Origen		Suma de cuadrados tipo III	gl	Media cuadrática	F	Sig.	Eta al cuadrado parcial
Alfa * In tamaño.5	Esfericidad asumida	0,000	5	40,379E-005	0,015	10,000	0,000
	Greenhouse-Geisser	0,000	10,001	0,000	0,015	0,904	0,000
	Huynh-Feldt	0,000	10,144	0,000	0,015	0,928	0,000
	Límite-inferior	0,000	10,000	0,000	0,015	0,904	0,000
Alfa * In tamaño.6	Esfericidad asumida	0,006	5	0,001	0,407	0,844	0,008
	Greenhouse-Geisser	0,006	10,001	0,006	0,407	0,527	0,008
	Huynh-Feldt	0,006	10,144	0,005	0,407	0,553	0,008
	Límite-inferior	0,006	10,000	0,006	0,407	0,526	0,008
Alfa * FTSE	Esfericidad asumida	0,002	5	0,000	0,129	0,986	0,003
	Greenhouse-Geisser	0,002	10,001	0,002	0,129	0,721	0,003
	Huynh-Feldt	0,002	10,144	0,002	0,129	0,755	0,003
	Límite-inferior	0,002	10,000	0,002	0,129	0,721	0,003
Error(Alfa)	Esfericidad asumida	0,745	250	0,003			
	Greenhouse-Geisser	0,745	50,04	0,015			
	Huynh-Feldt	0,745	570,19	0,013			
	Límite-inferior	0,745	50,00	0,015			

Tabla 116. Contraste de Levene sobre la igualdad de las varianzas error^a

	F	gl1	gl2	Sig.
ALFA.1	0,949	1	56	0,334
ALFA.2	0,177	1	56	0,676
ALFA.3	0,217	1	56	0,644
ALFA.4	0,001	1	56	0,977
ALFA.5	0,012	1	56	0,914
ALFA.6	30,156	1	56	0,081

Tabla 117. Pruebas de los efectos inter-sujetos

Origen	Suma de cuadrados tipo III	gl	Media cuadrática	F	Sig.	Eta al cuadrado parcial
Intersección	0,001	1	0,001	0,332	0,567	0,007
In tamaño.1	0,001	1	0,001	0,267	0,607	0,005
In tamaño.2	70,964E-006	1	70,964E-006	0,003	0,959	0,000
In tamaño.3	0,003	1	0,003	10,150	0,289	0,022
In tamaño.4	0,005	1	0,005	10,800	0,186	0,035
In tamaño.5	70,141E-005	1	70,141E-005	0,024	0,878	0,000
In tamaño.6	0,002	1	0,002	0,501	0,483	0,010
FTSE	0,000	1	0,000	0,131	0,719	0,003
Error	0,150	50	0,003			

Comparaciones múltiples y comparaciones *post hoc*

1. Tiempo

Tabla 118. Estimaciones

Alfa	Media	Error típico	Intervalo de confianza 95%	
			Límite inferior	Límite superior
1	-0,016 ^a	0,019	-0,053	0,022
2	-0,001 ^a	0,000	-0,001	-0,001
3	0,000 ^a	0,000	10,456E-005	0,001
4	20,425E-005 ^a	0,000	0,000	0,000
5	0,000 ^a	0,000	0,000	20,499E-006
6	0,000 ^a	0,000	0,000	0,001

Tabla 119. Comparaciones por pares

(I)Alfa	(J)Alfa	Diferencia de medias (I-J)	Error típico	Sig. ^b	Intervalo de confianza al 95 % para la diferencia ^b	
					Límite inferior	Límite superior
1	2	-0,015	0,019	10,000	-0,072	0,042
	3	-0,016	0,019	10,000	-0,073	0,041
	4	-0,016	0,019	10,000	-0,073	0,042
	5	-0,016	0,019	10,000	-0,073	0,042
	6	-0,016	0,019	10,000	-0,074	0,041
2	1	0,015	0,019	10,000	-0,042	0,072
	3	-0,001 [*]	0,000	0,000	-0,002	0,000
	4	-0,001 [*]	0,000	0,000	-0,002	0,000
	5	-0,001 [*]	0,000	0,009	-0,001	0,000
	6	-0,001 [*]	0,000	0,000	-0,002	0,000
3	1	0,016	0,019	10,000	-0,041	0,073
	2	0,001 [*]	0,000	0,000	0,000	0,002
	4	0,000	0,000	10,000	0,000	0,001
	5	0,001	0,000	0,056	-60,884E-006	0,001
	6	-80,908E-005	0,000	10,000	-0,001	0,001
4	1	0,016	0,019	10,000	-0,042	0,073
	2	0,001 [*]	0,000	0,000	0,000	0,002
	3	0,000	0,000	10,000	-0,001	0,000
	5	0,000	0,000	10,000	0,000	0,001
	6	0,000	0,000	10,000	-0,001	0,001
5	1	0,016	0,019	10,000	-0,042	0,073
	2	0,001 [*]	0,000	0,009	0,000	0,001
	3	-0,001	0,000	0,056	-0,001	60,884E-006
	4	0,000	0,000	10,000	-0,001	0,000
	6	-0,001	0,000	0,839	-0,002	0,000
6	1	0,016	0,019	10,000	-0,041	0,074
	2	0,001 [*]	0,000	0,000	0,000	0,002
	3	80,908E-005	0,000	10,000	-0,001	0,001
	4	0,000	0,000	10,000	-0,001	0,001
	5	0,001	0,000	0,839	0,000	0,002

Tabla 120. Contrastes multivariados

	Valor	F	Gl. de la hipótesis	Gl. del error	Sig.	Eta al cuadrado parcial
Traza de Pillai	0,502	90,263 ^a	50,000	460,000	0,000	0,502
Lambda de Wilks	0,498	90,263 ^a	50,000	460,000	0,000	0,502
Traza de Hotelling	10,007	90,263 ^a	50,000	460,000	0,000	0,502
Raíz mayor de Roy	10,007	90,263 ^a	50,000	460,000	0,000	0,502

2. FTSE * Tiempo

Tabla 121. Estimaciones

FTSE	Alfa	Media	Error típico	Intervalo de confianza 95%	
				Límite inferior	Límite superior
0	1	-0,025 ^a	0,026	-0,078	0,028
	2	-0,001 ^a	0,000	-0,002	-0,001
	3	0,000 ^a	0,000	-80,003E-005	0,001
	4	40,122E-005 ^a	0,000	0,000	0,000
	5	0,000 ^a	0,000	0,000	0,000
	6	0,000 ^a	0,000	-0,001	0,001
1	1	-0,006 ^a	0,036	-0,080	0,067
	2	-0,001 ^a	0,000	-0,002	0,000
	3	0,000 ^a	0,000	0,000	0,001
	4	70,278E-006 ^a	0,000	-0,001	0,001
	5	0,000 ^a	0,000	-0,001	0,000
	6	0,000 ^a	0,001	-0,001	0,002

3. FTSE

Tabla 122. Estimaciones

FTSE	Media	Error típico	Intervalo de confianza 95%	
			Límite inferior	Límite superior
0	-0,004 ^a	0,004	-0,013	0,005
1	-0,001 ^a	0,006	-0,013	0,011

Tabla 123. Comparaciones por pares

(I)FTSE	(J)FTSE	Diferencia de medias (I-J)	Error típico	Sig. ^a	Intervalo de confianza al 95 % para la diferencia ^a	
					Límite inferior	Límite superior
0	1	-0,003	0,009	0,719	-0,020	0,014
1	0	0,003	0,009	0,719	-0,014	0,020

Tabla 124. Contrastes univariados

	Suma de cuadrados	gl	Media cuadrática	F	Sig.	Eta al cuadrado parcial
Contraste	60,559E-005	1	60,559E-005	0,131	0,719	0,003
Error	0,025	50	0,001			

2.2. Beta (Tablas 125 -136)

Tabla 125. Prueba de Box sobre la igualdad de las matrices de covarianzas^a

M de Box	30,201
F	10,256
gl1	21
gl2	72920,841
Sig.	0,193

Tabla 126. Prueba de esfericidad de Mauchly^a

Efecto intra-sujetos	W de Mauchly	Chi-cuadrado aprox.	gl	Sig.	Epsilon ^b		
					Greenhouse-Geisser	Huynh-Feldt	Límite inferior
Beta	0,339	510,998	14	0,000	0,742	0,921	0,200

Tabla 127. Pruebas de efectos intra-sujetos

Origen		Suma de cuadrados tipo III	gl	Media cuadrática	F	Sig.	Eta al cuadrado parcial
Beta	Esfericidad asumida	0,483	5	0,097	30,105	0,010	0,058
	Greenhouse-Geisser	0,483	30,711	0,130	30,105	0,019	0,058
	Huynh-Feldt	0,483	40,606	0,105	30,105	0,012	0,058
	Límite inferior	0,483	10,000	0,483	30,105	0,084	0,058
Beta * ln tamaño.1	Esfericidad asumida	0,105	5	0,021	0,678	0,641	0,013
	Greenhouse-Geisser	0,105	30,711	0,028	0,678	0,597	0,013
	Huynh-Feldt	0,105	40,606	0,023	0,678	0,629	0,013
	Límite inferior	0,105	10,000	0,105	0,678	0,414	0,013
Beta * ln tamaño.2	Esfericidad asumida	0,035	5	0,007	0,225	0,952	0,004
	Greenhouse-Geisser	0,035	30,711	0,009	0,225	0,914	0,004
	Huynh-Feldt	0,035	40,606	0,008	0,225	0,942	0,004
	Límite inferior	0,035	10,000	0,035	0,225	0,638	0,004
Beta * ln tamaño.3	Esfericidad asumida	0,115	5	0,023	0,737	0,596	0,015
	Greenhouse-Geisser	0,115	30,711	0,031	0,737	0,558	0,015
	Huynh-Feldt	0,115	40,606	0,025	0,737	0,586	0,015
	Límite inferior	0,115	10,000	0,115	0,737	0,395	0,015

Tabla 127. Pruebas de efectos intra-sujetos (Continuación)

Origen		Suma de cuadrados tipo III	gl	Media cuadrática	F	Sig.	Eta al cuadrado parcial
Beta * ln tamaño.4	Esfericidad asumida	0,063	5	0,013	0,404	0,846	0,008
	Greenhouse-Geisser	0,063	30,711	0,017	0,404	0,791	0,008
	Huynh-Feldt	0,063	40,606	0,014	0,404	0,831	0,008
	Límite-inferior	0,063	10,000	0,063	0,404	0,528	0,008
Beta * ln tamaño.5	Esfericidad asumida	0,208	5	0,042	10,338	0,249	0,026
	Greenhouse-Geisser	0,208	30,711	0,056	10,338	0,259	0,026
	Huynh-Feldt	0,208	40,606	0,045	10,338	0,252	0,026
	Límite-inferior	0,208	10,000	0,208	10,338	0,253	0,026
Beta * ln tamaño.6	Esfericidad asumida	0,126	5	0,025	0,807	0,545	0,016
	Greenhouse-Geisser	0,126	30,711	0,034	0,807	0,514	0,016
	Huynh-Feldt	0,126	40,606	0,027	0,807	0,537	0,016
	Límite-inferior	0,126	10,000	0,126	0,807	0,373	0,016
Beta * FTSE	Esfericidad asumida	0,217	5	0,043	10,397	0,226	0,027
	Greenhouse-Geisser	0,217	30,711	0,059	10,397	0,239	0,027
	Huynh-Feldt	0,217	40,606	0,047	10,397	0,230	0,027
	Límite-inferior	0,217	10,000	0,217	10,397	0,243	0,027
Error(Beta)	Esfericidad asumida	70,775	250	0,031			
	Greenhouse-Geisser	70,775	1850,527	0,042			
	Huynh-Feldt	70,775	230,303	0,034			
	Límite-inferior	70,775	50,000	0,155			

Tabla 128. Contraste de Levene sobre la igualdad de las varianzas error^a

	F	gl1	gl2	Sig.
BETA.1	10,731	1	56	0,194
BETA.2	0,039	1	56	0,845
BETA.3	10,235	1	56	0,271
BETA.4	0,298	1	56	0,587
BETA.5	0,069	1	56	0,793
BETA.6	0,433	1	56	0,513

Tabla 129. Pruebas de los efectos inter-sujetos

Origen	Suma de cuadrados tipo III	gl	Media cuadrática	F	Sig.	Eta al cuadrado parcial
Intersección	0,095	1	0,095	0,307	0,582	0,006
ln tamaño.1	0,019	1	0,019	0,062	0,805	0,001
ln tamaño.2	0,208	1	0,208	0,672	0,416	0,013
ln tamaño.3	0,181	1	0,181	0,584	0,449	0,012
ln tamaño.4	0,061	1	0,061	0,197	0,659	0,004
ln tamaño.5	10,234	1	10,234	30,980	0,052	0,074
ln tamaño.6	20,839	1	20,839	90,155	0,004	0,155
FTSE	10,774	1	10,774	50,723	0,021	0,103
Error	150,503	50	0,310			

Comparaciones múltiples y comparaciones *post hoc*

1. Tiempo

Tabla 130. Estimaciones

Beta	Media	Error típico	Intervalo de confianza 95%	
			Límite inferior	Límite superior
1	0,892 ^a	0,046	0,800	0,985
2	0,728 ^a	0,030	0,669	0,788
3	0,808 ^a	0,050	0,707	0,910
4	0,692 ^a	0,033	0,625	0,759
5	0,766 ^a	0,035	0,696	0,836
6	0,711 ^a	0,034	0,642	0,779

Tabla 131. Comparaciones por pares

(I)Beta	(J)Beta	Diferencia de medias (I-J)	Error típico	Sig. ^b	Intervalo de confianza al 95 % para la diferencia ^b	
					Límite inferior	Límite superior
1	2	0,164 [*]	0,034	0,000	0,058	0,270
	3	0,084	0,047	10,000	-0,062	0,230
	4	0,200 [*]	0,035	0,000	0,093	0,307
	5	0,126 [*]	0,039	0,030	0,007	0,246
	6	0,181 [*]	0,043	0,001	0,049	0,314
2	1	-0,164 [*]	0,034	0,000	-0,270	-0,058
	3	-0,080	0,038	0,600	-0,197	0,037
	4	0,036	0,027	10,000	-0,046	0,119
	5	-0,037	0,027	10,000	-0,120	0,045
	6	0,018	0,030	10,000	-0,075	0,110
3	1	-0,084	0,047	10,000	-0,230	0,062
	2	0,080	0,038	0,600	-0,037	0,197
	4	0,116 [*]	0,036	0,029	0,007	0,226
	5	0,043	0,034	10,000	-0,063	0,148
	6	0,098	0,040	0,274	-0,026	0,221
4	1	-0,200 [*]	0,035	0,000	-0,307	-0,093
	2	-0,036	0,027	10,000	-0,119	0,046
	3	-0,116 [*]	0,036	0,029	-0,226	-0,007
	5	-0,074 [*]	0,021	0,012	-0,137	-0,010
	6	-0,019	0,034	10,000	-0,125	0,087
5	1	-0,126 [*]	0,039	0,030	-0,246	-0,007
	2	0,037	0,027	10,000	-0,045	0,120
	3	-0,043	0,034	10,000	-0,148	0,063
	4	0,074 [*]	0,021	0,012	0,010	0,137
	6	0,055	0,027	0,658	-0,027	0,137
6	1	-0,181 [*]	0,043	0,001	-0,314	-0,049
	2	-0,018	0,030	10,000	-0,110	0,075
	3	-0,098	0,040	0,274	-0,221	0,026
	4	0,019	0,034	10,000	-0,087	0,125
	5	-0,055	0,027	0,658	-0,137	0,027

Tabla 132. Contrastes multivariados

	Valor	F	GI de la hipótesis	GI del error	Sig.	Eta al cuadrado parcial
Traza de Pillai	0,559	110,669 ^a	50,000	460,000	0,000	0,559
Lambda de Wilks	0,441	110,669 ^a	50,000	460,000	0,000	0,559
Traza de Hotelling	10,268	110,669 ^a	50,000	460,000	0,000	0,559
Raíz mayor de Roy	10,268	110,669 ^a	50,000	460,000	0,000	0,559

2. FTSE * Tiempo

Tabla 133. Estimaciones

FTSE	Beta	Media	Error típico	Intervalo de confianza 95%	
				Límite inferior	Límite superior
0	1	0,828 ^a	0,065	0,697	0,958
	2	0,643 ^a	0,042	0,559	0,727
	3	0,630 ^a	0,071	0,487	0,773
	4	0,583 ^a	0,047	0,489	0,677
	5	0,684 ^a	0,049	0,586	0,783
	6	0,603 ^a	0,048	0,507	0,699
1	1	0,956 ^a	0,090	0,775	10,137
	2	0,814 ^a	0,058	0,697	0,930
	3	0,987 ^a	0,099	0,788	10,185
	4	0,801 ^a	0,065	0,671	0,932
	5	0,847 ^a	0,068	0,710	0,984
	6	0,819 ^a	0,066	0,685	0,952

3. FTSE

Tabla 134. Estimaciones

FTSE	Media	Error típico	Intervalo de confianza 95%	
			Límite inferior	Límite superior
0	0,662 ^a	0,045	0,572	0,751
1	0,871 ^a	0,062	0,746	0,995

Tabla 135. Comparaciones por pares

(I)FTSE	(J)FTSE	Diferencia de medias (I-J)	Error típico	Sig. ^b	Intervalo de confianza al 95 % para la diferencia ^b	
					Límite inferior	Límite superior
0	1	-0,209 [*]	0,087	0,021	-0,384	-0,034
1	0	0,209 [*]	0,087	0,021	0,034	0,384

Tabla 136. Contrastes univariados

	Suma de cuadrados	gl	Media cuadrática	F	Sig.	Eta al cuadrado parcial
Contraste	0,296	1	0,296	50,723	0,021	0,103
Error	20,584	50	0,052			

2.3. ROA (Tablas 137-148)

Tabla 137. Prueba de Box sobre la igualdad de las matrices de covarianzas^a

M de Box	1460,322
F	60,054
gl1	21
gl2	65170,316
Sig.	0,000

Tabla 138. Prueba de esfericidad de Mauchly^a

Efecto intra-sujetos	W de Mauchly	Chi-cuadrado aprox.	gl	Sig.	Greenhouse-Geisser	Epsilon ^b Huynh-Feldt	Límite-inferior
ROA	0,140	920,727	14	0,000	0,525	0,637	0,200

Tabla 139. Pruebas de efectos intra-sujetos

Origen		Suma de cuadrados tipo III	gl	Media cuadrática	F	Sig.	Eta al cuadrado parcial
ROA	Esfericidad asumida	580,187	5	110,637	0,605	0,696	0,012
	Greenhouse-Geisser	580,187	20,627	220,147	0,605	0,591	0,012
	Huynh-Feldt	580,187	30,186	180,262	0,605	0,622	0,012
	Límite-inferior	580,187	10,000	580,187	0,605	0,440	0,012
ROA * In tamaño.1	Esfericidad asumida	1620,016	5	320,403	10,686	0,139	0,033
	Greenhouse-Geisser	1620,016	20,627	610,667	10,686	0,179	0,033
	Huynh-Feldt	1620,016	30,186	50,849	10,686	0,169	0,033
	Límite-inferior	1620,016	10,000	1620,016	10,686	0,200	0,033
ROA * In tamaño.2	Esfericidad asumida	3680,658	5	730,732	30,836	0,002	0,073
	Greenhouse-Geisser	3680,658	20,627	140,319	30,836	0,015	0,073
	Huynh-Feldt	3680,658	30,186	1150,703	30,836	0,010	0,073
	Límite-inferior	3680,658	10,000	3680,658	30,836	0,056	0,073
ROA * In tamaño.3	Esfericidad asumida	7320,657	5	1460,531	70,623	0,000	0,135
	Greenhouse-Geisser	7320,657	20,627	2780,865	70,623	0,000	0,135
	Huynh-Feldt	7320,657	30,186	2290,943	70,623	0,000	0,135
	Límite-inferior	7320,657	10,000	7320,657	70,623	0,008	0,135

Tabla 139. Pruebas de efectos intra-sujetos (Continuación)

Origen		Suma de cuadrados tipo III	gl	Media cuadrática	F	Sig.	Eta al cuadrado parcial
ROA * ln tamaño.4	Esfericidad asumida	1360,478	5	270,296	10,420	0,218	0,028
	Greenhouse-Geisser	1360,478	20,627	510,946	10,420	0,243	0,028
	Huynh-Feldt	1360,478	30,186	420,833	10,420	0,237	0,028
	Límite-inferior	1360,478	10,000	1360,478	10,420	0,239	0,028
ROA * ln tamaño.5	Esfericidad asumida	3220,378	5	640,476	30,354	0,006	0,064
	Greenhouse-Geisser	3220,378	20,627	1220,704	30,354	0,026	0,064
	Huynh-Feldt	3220,378	30,186	1010,178	30,354	0,018	0,064
	Límite-inferior	3220,378	10,000	3220,378	30,354	0,073	0,064
ROA * ln tamaño.6	Esfericidad asumida	3240,769	5	640,954	30,379	0,006	0,065
	Greenhouse-Geisser	3240,769	20,627	1230,614	30,379	0,025	0,065
	Huynh-Feldt	3240,769	30,186	1010,928	30,379	0,018	0,065
	Límite-inferior	3240,769	10,000	3240,769	30,379	0,072	0,065
ROA * FTSE	Esfericidad asumida	410,288	5	80,258	0,430	0,828	0,009
	Greenhouse-Geisser	410,288	20,627	150,715	0,430	0,706	0,009
	Huynh-Feldt	410,288	30,186	120,958	0,430	0,744	0,009
	Límite-inferior	410,288	10,000	410,288	0,430	0,515	0,009
Error(ROA)	Esfericidad asumida	47090,737	245	190,223			
	Greenhouse-Geisser	47090,737	1280,737	360,584			
	Huynh-Feldt	47090,737	1560,126	30,166			
	Límite-inferior	47090,737	490,000	960,117			

Tabla 140. Contraste de Levene sobre la igualdad de las varianzas error^a

	F	gl1	gl2	Sig.
ROA.1	30,127	1	55	0,083
ROA.2	20,045	1	55	0,158
ROA.3	10,731	1	55	0,194
ROA.4	40,142	1	55	0,047
ROA.5	30,670	1	55	0,061
ROA.6	40,237	1	55	0,044

Tabla 141. Pruebas de los efectos inter-sujetos

Origen	Suma de cuadrados tipo III	gl	Media cuadrática	F	Sig.	Eta al cuadrado parcial
Intersección	4960,437	1	4960,437	20,199	0,145	0,043
ln tamaño.1	260,122	1	260,122	0,116	0,735	0,002
ln tamaño.2	80,861	1	80,861	0,039	0,844	0,001
ln tamaño.3	450,421	1	450,421	0,201	0,656	0,004
ln tamaño.4	60,716	1	60,716	0,030	0,864	0,001
ln tamaño.5	20,515	1	20,515	0,011	0,916	0,000
ln tamaño.6	950,689	1	950,689	0,424	0,518	0,009
FTSE	160,103	1	160,103	0,071	0,791	0,001
Error	110630,327	49	2250,782			

Comparaciones múltiples y comparaciones *post hoc*

1. Tiempo

Tabla 142. Estimaciones

ROA	Media	Error típico	Intervalo de confianza 95%	
			Límite inferior	Límite superior
1	80,427 ^a	10,341	50,732	110,123
2	60,189 ^a	10,048	40,082	80,296
3	40,242 ^a	0,997	20,239	60,246
4	40,743 ^a	0,964	20,806	60,680
5	40,551 ^a	0,929	20,684	60,418
6	30,204 ^a	0,945	10,306	50,103

Tabla 143. Comparaciones por pares

(I)ROA	(J)ROA	Diferencia de medias (I-J)	Error típico	Sig. ^b	Intervalo de confianza al 95 % para la diferencia ^b	
					Límite inferior	Límite superior
1	2	20,238	0,783	0,093	-0,177	40,653
	3	40,185 [*]	0,937	0,001	10,292	70,077
	4	30,684 [*]	10,034	0,012	0,492	60,877
	5	30,876 [*]	10,195	0,032	0,189	70,563
	6	50,223 [*]	10,326	0,004	10,130	90,316
2	1	-20,238	0,783	0,093	-40,653	0,177
	3	10,947	0,700	0,115	-0,214	40,108
	4	10,446	0,791	10,000	-0,995	30,887
	5	10,638	0,948	10,000	-10,289	40,565
	6	20,985	0,987	0,059	-0,060	60,030
3	1	-40,185 [*]	0,937	0,001	-70,077	-10,292
	2	-10,947	0,700	0,115	-40,108	0,214
	4	-0,500	0,463	10,000	-10,928	0,927
	5	-0,309	0,863	10,000	-20,973	20,356
	6	10,038	0,817	10,000	-10,483	30,559
4	1	-30,684 [*]	10,034	0,012	-60,877	-0,492
	2	-10,446	0,791	10,000	-30,887	0,995
	3	0,500	0,463	10,000	-0,927	10,928
	5	0,192	0,741	10,000	-20,095	20,479
	6	10,539	0,695	0,474	-0,607	30,684
5	1	-30,876 [*]	10,195	0,032	-70,563	-0,189
	2	-10,638	0,948	10,000	-40,565	10,289
	3	0,309	0,863	10,000	-20,356	20,973
	4	-0,192	0,741	10,000	-20,479	20,095
	6	10,347	0,621	0,525	-0,570	30,264
6	1	-50,223 [*]	10,326	0,004	-90,316	-10,130
	2	-20,985	0,987	0,059	-60,030	0,060
	3	-10,038	0,817	10,000	-30,559	10,483
	4	-10,539	0,695	0,474	-30,684	0,607
	5	-10,347	0,621	0,525	-30,264	0,570

Tabla 144. Contrastes multivariados

	Valor	F	Gl de la hipótesis	Gl del error	Sig.	Eta al cuadrado parcial
Traza de Pillai	0,320	40,241 ^a	50,000	450,000	0,003	0,320
Lambda de Wilks	0,680	40,241 ^a	50,000	450,000	0,003	0,320
Traza de Hotelling	0,471	40,241 ^a	50,000	450,000	0,003	0,320
Raíz mayor de Roy	0,471	40,241 ^a	50,000	450,000	0,003	0,320

2. FTSE * Tiempo

Tabla 145. Estimaciones

FTSE	ROA	Media	Error típico	Intervalo de confianza 95%	
				Límite inferior	Límite superior
0	1	8,163 ^a	1,881	4,382	11,943
	2	5,586 ^a	1,470	2,631	8,540
	3	3,671 ^a	1,398	,861	6,480
	4	5,339 ^a	1,351	2,623	8,055
	5	4,517 ^a	1,303	1,899	7,135
	6	2,075 ^a	1,325	-0,587	4,737
1	1	8,692 ^a	2,721	3,224	14,160
	2	6,793 ^a	2,126	2,519	11,066
	3	4,814 ^a	2,022	0,751	8,878
	4	4,147 ^a	1,955	0,218	8,075
	5	4,585 ^a	1,884	0,799	8,372
	6	4,333 ^a	1,916	0,483	8,183

3. FTSE

Tabla 146. Estimaciones

FTSE	Media	Error típico	Intervalo de confianza 95%	
			Límite inferior	Límite superior
0	40,892 ^a	10,230	20,421	70,363
1	50,561 ^a	10,778	10,987	90,135

Tabla 147. Comparaciones por pares

(I)FTSE	(J)FTSE	Diferencia de medias (I-J)	Error típico	Sig. ^a	Intervalo de confianza al 95 % para la diferencia ^a	
					Límite inferior	Límite superior
0	1	-0,669	20,505	0,791	-50,703	40,365
1	0	0,669	20,505	0,791	-40,365	50,703

Tabla 148. Contrastes univariados

	Suma de cuadrados	gl	Media cuadrática	F	Sig.	Eta al cuadrado parcial
Contraste	20,684	1	20,684	0,071	0,791	0,001
Error	18430,888	49	370,630			

2.4. ROE (Tablas 149 -160)

Tabla 149. Prueba de Box sobre la igualdad de las matrices de covarianzas^a

M de Box	2010,369
F	80,331
gl1	21
gl2	65170,316
Sig.	0,000

Tabla 150. Prueba de esfericidad de Mauchly^a

Efecto intra-sujetos	W de Mauchly	Chi-cuadrado aprox.	gl	Sig.	Epsilon ^b		
					Greenhouse-Geisser	Huynh-Feldt	Límite-inferior
ROE	0,067	1270,341	14	0,000	0,464	0,558	0,200

Tabla 151. Pruebas de efectos intra-sujetos

	Origen	Suma de cuadrados tipo III	gl	Media cuadrática	F	Sig.	Eta al cuadrado parcial
ROE	Esfericidad asumida	1890,979	5	3780,196	0,864	0,506	0,017
	Greenhouse-Geisser	1890,979	20,319	8150,494	0,864	0,438	0,017
	Huynh-Feldt	1890,979	20,789	6780,125	0,864	0,455	0,017
	Límite-inferior	1890,979	10,000	1890,979	0,864	0,357	0,017
ROE * In tamaño.1	Esfericidad asumida	17810,341	5	3560,268	0,814	0,540	0,016
	Greenhouse-Geisser	17810,341	20,319	7680,212	0,814	0,461	0,016
	Huynh-Feldt	17810,341	20,789	6380,808	0,814	0,480	0,016
	Límite-inferior	17810,341	10,000	17810,341	0,814	0,371	0,016
ROE * In tamaño.2	Esfericidad asumida	38620,193	5	7720,439	10,765	0,121	0,035
	Greenhouse-Geisser	38620,193	20,319	16650,590	10,765	0,170	0,035
	Huynh-Feldt	38620,193	20,789	13850,023	10,765	0,161	0,035
	Límite-inferior	38620,193	10,000	38620,193	10,765	0,190	0,035
ROE * In tamaño.3	Esfericidad asumida	48350,752	5	9670,150	20,210	0,054	0,043
	Greenhouse-Geisser	48350,752	20,319	20850,443	20,210	0,106	0,043
	Huynh-Feldt	48350,752	20,789	17340,152	20,210	0,094	0,043
	Límite-inferior	48350,752	10,000	48350,752	20,210	0,143	0,043

Tabla 151. Pruebas de efectos intra-sujetos (Continuación)

	Origen	Suma de cuadrados tipo III	gl	Media cuadrática	F	Sig.	Eta al cuadrado parcial
ROE * In tamaño.4	Esfericidad asumida	5460,853	5	1090,371	0,250	0,940	0,005
	Greenhouse-Geisser	5460,853	20,319	2350,833	0,250	0,811	0,005
	Huynh-Feldt	5460,853	20,789	1960,107	0,250	0,848	0,005
	Límite-inferior	5460,853	10,000	5460,853	0,250	0,619	0,005
ROE* In tamaño.5	Esfericidad asumida	25010,307	5	500,261	10,143	0,338	0,023
	Greenhouse-Geisser	25010,307	20,319	10780,701	10,143	0,328	0,023
	Huynh-Feldt	25010,307	20,789	8960,995	10,143	0,332	0,023
	Límite-inferior	25010,307	10,000	25010,307	10,143	0,290	0,023
ROE * In tamaño.6	Esfericidad asumida	20970,966	5	4190,593	0,959	0,444	0,019
	Greenhouse-Geisser	20970,966	20,319	9040,759	0,959	0,397	0,019
	Huynh-Feldt	20970,966	20,789	7520,353	0,959	0,409	0,019
	Límite-inferior	20970,966	10,000	20970,966	0,959	0,332	0,019
ROE * FTSE	Esfericidad asumida	28520,476	5	570,495	10,304	0,263	0,026
	Greenhouse-Geisser	28520,476	20,319	1230,145	10,304	0,277	0,026
	Huynh-Feldt	28520,476	20,789	10220,928	10,304	0,276	0,026
	Límite-inferior	28520,476	10,000	28520,476	10,304	0,259	0,026
Error(ROE)	Esfericidad asumida	1071940,279	245	4370,528			
	Greenhouse-Geisser	1071940,279	1130,622	9430,430			
	Huynh-Feldt	1071940,279	1360,638	7840,510			
	Límite-inferior	1071940,279	490,000	21870,638			

Tabla 152. Contraste de Levene sobre la igualdad de las varianzas error*

	F	gl1	gl2	Sig.
ROE.1	30,488	1	55	0,067
ROE.2	20,587	1	55	0,113
ROE.3	0,551	1	55	0,461
ROE.4	20,358	1	55	0,130
ROE.5	20,521	1	55	0,118
ROE.6	60,766	1	55	0,012

Tabla 153. Pruebas de los efectos inter-sujetos

Origen	Suma de cuadrados tipo III	gl	Media cuadrática	F	Sig.	Eta al cuadrado parcial
Intersección	330,914	1	330,914	0,145	0,705	0,003
In tamaño.1	19760,337	1	19760,337	0,868	0,356	0,017
In tamaño.2	230,933	1	230,933	0,101	0,751	0,002
In tamaño.3	8460,777	1	8460,777	0,372	0,545	0,008
In tamaño.4	15790,982	1	15790,982	0,694	0,409	0,014
In tamaño.5	13890,034	1	13890,034	0,610	0,438	0,012
In tamaño.6	3190,987	1	3190,987	10,402	0,242	0,028
FTSE	130,757	1	130,757	0,006	0,938	0,000
Error	111520,419	49	22750,927			

Comparaciones múltiples y comparaciones *post hoc*

1. Tiempo

Tabla 154. Estimaciones

ROE	Media	Error típico	Intervalo de confianza 95%	
			Límite inferior	Límite superior
1	20,866 ^a	30,911	130,007	280,725
2	120,537 ^a	30,707	50,088	190,985
3	120,307 ^a	30,050	60,178	180,436
4	110,203 ^a	20,889	50,397	170,010
5	10,640 ^a	20,932	40,748	160,531
6	-0,574 ^a	50,993	-120,618	110,469

Tabla 155. Comparaciones por pares

(I)ROE	(J)ROE	Diferencia de medias (I-J)	Error típico	Sig. ^b	Intervalo de confianza al 95 % para la diferencia ^b	
					Límite inferior	Límite superior
1	2	80,330 [*]	20,080	0,003	10,909	140,750
	3	80,559	20,869	0,067	-0,295	170,414
	4	90,663	30,165	0,055	-0,103	190,429
	5	10,226	30,787	0,142	-10,460	210,913
	6	210,440 [*]	60,180	0,016	20,369	40,511
2	1	-80,330 [*]	20,080	0,003	-140,750	-10,909
	3	0,230	30,175	10,000	-90,567	10,026
	4	10,333	30,128	10,000	-80,318	10,984
	5	10,897	30,798	10,000	-90,823	130,617
	6	130,111	60,139	0,566	-50,834	320,055
3	1	-80,559	20,869	0,067	-170,414	0,295
	2	-0,230	30,175	10,000	-10,026	90,567
	4	10,103	20,223	10,000	-50,755	70,962
	5	10,667	20,774	10,000	-60,892	10,226
	6	120,881	60,262	0,675	-60,442	320,205
4	1	-90,663	30,165	0,055	-190,429	0,103
	2	-10,333	30,128	10,000	-10,984	80,318
	3	-10,103	20,223	10,000	-70,962	50,755
	5	0,564	20,590	10,000	-70,428	80,555
	6	110,778	50,482	0,550	-50,141	280,696
5	1	-10,226	30,787	0,142	-210,913	10,460
	2	-10,897	30,798	10,000	-130,617	90,823
	3	-10,667	20,774	10,000	-10,226	60,892
	4	-0,564	20,590	10,000	-80,555	70,428
	6	110,214	50,699	0,822	-60,374	280,802
6	1	-210,440 [*]	60,180	0,016	-40,511	-20,369
	2	-130,111	60,139	0,566	-320,055	50,834
	3	-120,881	60,262	0,675	-320,205	60,442
	4	-110,778	50,482	0,550	-280,696	50,141
	5	-110,214	50,699	0,822	-280,802	60,374

Tabla 156. Contrastes multivariados

	Valor	F	Gl de la hipótesis	Gl del error	Sig.	Eta al cuadrado parcial
Traza de Pillai	0,362	50,102 ^a	50,000	450,000	0,001	0,362
Lambda de Wilks	0,638	50,102 ^a	50,000	450,000	0,001	0,362
Traza de Hotelling	0,567	50,102 ^a	50,000	450,000	0,001	0,362
Raíz mayor de Roy	0,567	50,102 ^a	50,000	450,000	0,001	0,362

2. FTSE * Tiempo

Tabla 157. Estimaciones

FTSE	ROE	Media	Error típico	Intervalo de confianza 95%	
				Límite inferior	Límite superior
0	1	210,249 ^a	50,484	10,229	320,269
	2	160,129 ^a	50,198	50,684	260,574
	3	110,175 ^a	40,277	20,580	190,769
	4	170,134 ^a	40,052	80,992	250,277
	5	110,977 ^a	40,111	30,716	20,239
	6	-80,831 ^a	80,404	-250,719	80,057
1	1	20,483 ^a	70,932	40,543	360,423
	2	80,944 ^a	70,518	-60,164	240,052
	3	130,439 ^a	60,186	10,008	250,870
	4	50,272 ^a	50,861	-60,505	170,050
	5	90,302 ^a	50,946	-20,647	210,252
	6	70,683 ^a	120,156	-160,745	320,110

3. FTSE

Tabla 158. Estimaciones

FTSE	Media	Error típico	Intervalo de confianza 95%	
			Límite inferior	Límite superior
0	110,472 ^a	30,904	30,627	190,317
1	10,854 ^a	50,647	-0,493	220,201

Tabla 159. Comparaciones por pares

(I)FTSE	(J)FTSE	Diferencia de medias (I-J)	Error típico	Sig. ^a	Intervalo de confianza al 95 % para la diferencia ^a	
					Límite inferior	Límite superior
0	1	0,618	70,953	0,938	-150,363	160,600
1	0	-0,618	70,953	0,938	-160,600	150,363

Tabla 160. Contrastes univariados

	Suma de cuadrados	gl	Media cuadrática	F	Sig.	Eta al cuadrado parcial
Contraste	20,293	1	20,293	0,006	0,938	0,000
Error	185860,736	49	3790,321			

2.5. Precio Valor Contable (Tablas 161 -172)

Tabla 161. Prueba de Box sobre la igualdad de las matrices de covarianzas^a

M de Box	2420,958
F	10,106
gl1	21
gl2	72920,841
Sig.	0,000

Tabla 162. Prueba de esfericidad de Mauchly^a

Efecto intra-sujetos	W de Mauchly	Chi-cuadrado aprox.	gl	Sig.	Epsilon ^b		
					Greenhouse-Geisser	Huynh-Feldt	Límite-inferior
P.V.C.	0,000	5450,820	14	0,000	0,259	0,300	0,200

Tabla 163. Pruebas de efectos intra-sujetos

	Origen	Suma de cuadrados tipo III	gl	Media cuadrática	F	Sig.	Eta al cuadrado parcial
P.V.C.	Esfericidad asumida	1340,664	5	260,933	0,783	0,563	0,015
	Greenhouse-Geisser	1340,664	10,295	1040,007	0,783	0,410	0,015
	Huynh-Feldt	1340,664	10,501	890,729	0,783	0,427	0,015
	Límite-inferior	1340,664	10,000	1340,664	0,783	0,380	0,015
P.V.C. * In tamaño.1	Esfericidad asumida	160,257	5	30,251	0,095	0,993	0,002
	Greenhouse-Geisser	160,257	10,295	120,556	0,095	0,823	0,002
	Huynh-Feldt	160,257	10,501	10,832	0,095	0,855	0,002
	Límite-inferior	160,257	10,000	160,257	0,095	0,760	0,002
P.V.C. * In tamaño.2	Esfericidad asumida	30,620	5	0,724	0,021	10,000	0,000
	Greenhouse-Geisser	30,620	10,295	20,796	0,021	0,932	0,000
	Huynh-Feldt	30,620	10,501	20,412	0,021	0,952	0,000
	Límite-inferior	30,620	10,000	30,620	0,021	0,885	0,000
P.V.C. * In tamaño.3	Esfericidad asumida	730,748	5	140,750	0,429	0,828	0,009
	Greenhouse-Geisser	730,748	10,295	560,958	0,429	0,566	0,009
	Huynh-Feldt	730,748	10,501	490,139	0,429	0,595	0,009
	Límite-inferior	730,748	10,000	730,748	0,429	0,516	0,009

Tabla 163. Pruebas de efectos intra-sujetos (Continuación)

Origen		Suma de cuadrados tipo III	gl	Media cuadrática	F	Sig.	Eta al cuadrado parcial
P.V.C. * In tamaño.4	Esfericidad asumida	450,379	5	90,076	0,264	0,932	0,005
	Greenhouse-Geisser	450,379	10,295	350,048	0,264	0,670	0,005
	Huynh-Feldt	450,379	10,501	30,237	0,264	0,704	0,005
	Límite-inferior	450,379	10,000	450,379	0,264	0,610	0,005
P.V.C. * In tamaño.5	Esfericidad asumida	2420,229	5	480,446	10,409	0,222	0,027
	Greenhouse-Geisser	2420,229	10,295	1870,083	10,409	0,247	0,027
	Huynh-Feldt	2420,229	10,501	1610,401	10,409	0,249	0,027
	Límite-inferior	2420,229	10,000	2420,229	10,409	0,241	0,027
P.V.C. * In tamaño.6	Esfericidad asumida	3760,019	5	750,204	20,187	0,056	0,042
	Greenhouse-Geisser	3760,019	10,295	290,415	20,187	0,138	0,042
	Huynh-Feldt	3760,019	10,501	250,547	20,187	0,132	0,042
	Límite-inferior	3760,019	10,000	3760,019	20,187	0,145	0,042
P.V.C. * FTSE	Esfericidad asumida	1320,400	5	260,480	0,770	0,572	0,015
	Greenhouse-Geisser	1320,400	10,295	1020,258	0,770	0,415	0,015
	Huynh-Feldt	1320,400	10,501	880,220	0,770	0,432	0,015
	Límite-inferior	1320,400	10,000	1320,400	0,770	0,384	0,015
Error (P.V.C.)	Esfericidad asumida	85970,867	250	340,391			
	Greenhouse-Geisser	85970,867	640,738	1320,810			
	Huynh-Feldt	85970,867	750,040	1140,578			
	Límite-inferior	85970,867	50,000	1710,957			

Tabla 164. Contraste de Levene sobre la igualdad de las varianzas error^a

	F	gl1	gl2	Sig.
P.V.C.1	40,844	1	56	0,032
P.V.C.2	60,415	1	56	0,014
P.V.C.3	40,370	1	56	0,041
P.V.C.4	30,085	1	56	0,084
P.V.C.5	30,846	1	56	0,055
P.V.C.6	0,795	1	56	0,376

Tabla 165. Pruebas de los efectos inter-sujetos

Origen	Suma de cuadrados tipo III	gl	Media cuadrática	F	Sig.	Eta al cuadrado parcial
Intersección	5870,104	1	5870,104	60,091	0,017	0,109
In tamaño.1	10,858	1	10,858	0,113	0,739	0,002
In tamaño.2	380,088	1	380,088	0,395	0,532	0,008
In tamaño.3	270,331	1	270,331	0,284	0,597	0,006
In tamaño.4	90,379	1	90,379	0,097	0,756	0,002
In tamaño.5	330,766	1	330,766	0,350	0,557	0,007
In tamaño.6	420,556	1	420,556	0,441	0,509	0,009
FTSE	230,158	1	230,158	0,240	0,626	0,005
Error	48190,735	50	960,395			

Comparaciones múltiples y comparaciones *post hoc*

1. Tiempo

Tabla 166. Estimaciones

P.V.C.	Media	Error típico	Intervalo de confianza 95%	
			Límite inferior	Límite superior
1	50,563 ^a	0,994	30,566	70,559
2	40,129 ^a	0,556	30,012	50,246
3	20,856 ^a	0,574	10,704	40,008
4	20,431 ^a	0,445	10,538	30,324
5	20,435 ^a	0,374	10,684	30,186
6	0,648 ^a	10,800	-20,968	40,263

Tabla 167. Comparaciones por pares

(I) P.V.C.	(J)P.V.C.	Diferencia de medias (I-J)	Error típico	Sig. ^b	Intervalo de confianza al 95 % para la diferencia ^a	
					Límite inferior	Límite superior
1	2	10,434	0,660	0,519	-0,601	30,468
	3	20,707 [*]	0,653	0,002	0,693	40,721
	4	30,132 [*]	0,735	0,001	0,865	50,399
	5	30,128 [*]	0,707	0,001	0,949	50,306
	6	40,915	10,942	0,219	-10,072	10,902
2	1	-10,434	0,660	0,519	-30,468	0,601
	3	10,273 [*]	0,251	0,000	0,501	20,046
	4	10,698 [*]	0,277	0,000	0,843	20,553
	5	10,694 [*]	0,297	0,000	0,779	20,608
	6	30,482	10,978	10,000	-20,616	90,579
3	1	-20,707 [*]	0,653	0,002	-40,721	-0,693
	2	-10,273 [*]	0,251	0,000	-20,046	-0,501
	4	0,425	0,174	0,273	-0,111	0,961
	5	0,421	0,261	10,000	-0,385	10,227
	6	20,208	10,892	10,000	-30,623	80,040
4	1	-30,132 [*]	0,735	0,001	-50,399	-0,865
	2	-10,698 [*]	0,277	0,000	-20,553	-0,843
	3	-0,425	0,174	0,273	-0,961	0,111
	5	-0,004	0,151	10,000	-0,469	0,461
	6	10,783	10,803	10,000	-30,774	70,341
5	1	-30,128 [*]	0,707	0,001	-50,306	-0,949
	2	-10,694 [*]	0,297	0,000	-20,608	-0,779
	3	-0,421	0,261	10,000	-10,227	0,385
	4	0,004	0,151	10,000	-0,461	0,469
	6	10,788	10,801	10,000	-30,765	70,340
6	1	-40,915	10,942	0,219	-10,902	10,072
	2	-30,482	10,978	10,000	-90,579	20,616
	3	-20,208	10,892	10,000	-80,040	30,623
	4	-10,783	10,803	10,000	-70,341	30,774
	5	-10,788	10,801	10,000	-70,340	30,765

Tabla 168. Contrastes multivariados

	Valor	F	Gl de la hipótesis	Gl del error	Sig.	Eta al cuadrado parcial
Traza de Pillai	0,508	90,503 ^a	50,000	460,000	0,000	0,508
Lambda de Wilks	0,492	90,503 ^a	50,000	460,000	0,000	0,508
Traza de Hotelling	10,033	90,503 ^a	50,000	460,000	0,000	0,508
Raíz mayor de Roy	10,033	90,503 ^a	50,000	460,000	0,000	0,508

2. FTSE* Tiempo

Tabla 169. Estimaciones

FTSE	Precio Valor Contable	Media	Error típico	Intervalo de confianza 95%	
				Límite inferior	Límite superior
0	1	50,163 ^a	10,400	20,351	70,976
	2	40,411 ^a	0,783	20,837	50,984
	3	20,931 ^a	0,808	10,308	40,555
	4	20,435 ^a	0,627	10,177	30,694
	5	20,551 ^a	0,527	10,493	30,608
	6	-10,694 ^a	20,536	-60,787	30,399
1	1	50,962 ^a	10,943	20,059	90,865
	2	30,848 ^a	10,087	10,665	60,031
	3	20,780 ^a	10,122	0,528	50,033
	4	20,427 ^a	0,870	0,680	40,173
	5	20,320 ^a	0,731	0,852	30,788
	6	20,989 ^a	30,519	-40,079	10,057

3. FTSE

Tabla 170. Estimaciones

FTSE	Media	Error típico	Intervalo de confianza 95%	
			Límite inferior	Límite superior
0	20,633 ^a	0,786	10,054	40,212
1	30,388 ^a	10,091	10,196	50,579

Tabla 171. Comparaciones por pares

(I)FTSE	(J)FTSE	Diferencia de medias (I-J)	Error típico	Sig. ^a	Intervalo de confianza al 95 % para la diferencia ^a	
					Límite inferior	Límite superior
0	1	-0,755	10,540	0,626	-30,848	20,338
1	0	0,755	10,540	0,626	-20,338	30,848

Tabla 172. Contrastes univariados

	Suma de cuadrados	gl	Media cuadrática	F	Sig.	Eta al cuadrado parcial
Contraste	30,860	1	30,860	0,240	0,626	0,005
Error	8030,289	50	160,066			

2.6. Q de Tobin (Tablas 173 -184)

Tabla 173. Prueba de Box sobre la igualdad de las matrices de covarianzas^a

M de Box	550,455
F	20,304
gl1	21
gl2	73490,955
Sig.	0,001

Tabla 174. Prueba de esfericidad de Mauchly^a

Efecto intra-sujetos	W de Mauchly	Chi-cuadrado aprox.	gl	Sig.	<i>Epsilon^b</i>		
					Greenhouse-Geisser	Huynh-Feldt	<i>Límite-inferior</i>
Q de Tobin	0,052	1390,268	14	0,000	0,466	0,561	0,200

Tabla 175. Pruebas de efectos intra-sujetos

	Origen	Suma de cuadrados tipo III	gl	Media cuadrática	F	Sig.	Eta al cuadrado parcial
Q de Tobin	Esfericidad asumida	0,100	5	0,020	40,023	0,002	0,076
	Greenhouse-Geisser	0,100	20,332	0,043	40,023	0,016	0,076
	Huynh-Feldt	0,100	20,806	0,036	40,023	0,010	0,076
	Límite-inferior	0,100	10,000	0,100	40,023	0,050	0,076
Q de Tobin * In tamaño.1	Esfericidad asumida	0,053	5	0,011	20,124	0,063	0,042
	Greenhouse-Geisser	0,053	20,332	0,023	20,124	0,116	0,042
	Huynh-Feldt	0,053	20,806	0,019	20,124	0,104	0,042
	Límite-inferior	0,053	10,000	0,053	20,124	0,151	0,042
Q de Tobin * In tamaño.2	Esfericidad asumida	0,065	5	0,013	20,630	0,024	0,051
	Greenhouse-Geisser	0,065	20,332	0,028	20,630	0,068	0,051
	Huynh-Feldt	0,065	20,806	0,023	20,630	0,056	0,051
	Límite-inferior	0,065	10,000	0,065	20,630	0,111	0,051
Q de Tobin * In tamaño.3	Esfericidad asumida	0,025	5	0,005	0,996	0,421	0,020
	Greenhouse-Geisser	0,025	20,332	0,011	0,996	0,382	0,020
	Huynh-Feldt	0,025	20,806	0,009	0,996	0,393	0,020
	Límite-inferior	0,025	10,000	0,025	0,996	0,323	0,020

Tabla 175. Pruebas de efectos intra-sujetos (Continuación)

Origen		Suma de cuadrados	gl	Media cuadrática	F	Sig.	Eta al cuadrado parcial
		tipo III					
Q de Tobin * ln tamaño.4	Esfericidad asumida	0,192	5	0,038	70,754	0,000	0,137
	Greenhouse-Geisser	0,192	20,332	0,082	70,754	0,000	0,137
	Huynh-Feldt	0,192	20,806	0,069	70,754	0,000	0,137
	Límite-inferior	0,192	10,000	0,192	70,754	0,008	0,137
Q de Tobin * ln tamaño.5	Esfericidad asumida	0,064	5	0,013	20,575	0,027	0,050
	Greenhouse-Geisser	0,064	20,332	0,027	20,575	0,072	0,050
	Huynh-Feldt	0,064	20,806	0,023	20,575	0,060	0,050
	Límite-inferior	0,064	10,000	0,064	20,575	0,115	0,050
Q de Tobin * ln tamaño.6	Esfericidad asumida	0,042	5	0,008	10,674	0,141	0,033
	Greenhouse-Geisser	0,042	20,332	0,018	10,674	0,187	0,033
	Huynh-Feldt	0,042	20,806	0,015	10,674	0,179	0,033
	Límite-inferior	0,042	10,000	0,042	10,674	0,202	0,033
Q de Tobin * FTSE	Esfericidad asumida	0,040	5	0,008	10,613	0,157	0,032
	Greenhouse-Geisser	0,040	20,332	0,017	10,613	0,200	0,032
	Huynh-Feldt	0,040	20,806	0,014	10,613	0,192	0,032
	Límite-inferior	0,040	10,000	0,040	10,613	0,210	0,032
Error(Q de Tobin)	Esfericidad asumida	10,215	245	0,005			
	Greenhouse-Geisser	10,215	1140,276	0,011			
	Huynh-Feldt	10,215	1370,476	0,009			
	Límite-inferior	10,215	490,000	0,025			

Tabla 176. Contraste de Levene sobre la igualdad de las varianzas error^a

	F	gl1	gl2	Sig.
Q DETOBIN.1	0,018	1	55	0,893
Q DETOBIN.2	0,001	1	55	0,974
Q DETOBIN.3	10,764	1	55	0,190
QDETOBIN.4	0,501	1	55	0,482
QDETOBIN.5	0,430	1	55	0,515
QDETOBIN.6	0,847	1	55	0,361

Tabla 177. Pruebas de los efectos inter-sujetos

Origen	Suma de cuadrados	gl	Media cuadrática	F	Sig.	Eta al cuadrado parcial
	tipo III					
Intersección	0,092	1	0,092	0,373	0,544	0,008
ln tamaño.1	0,380	1	0,380	10,539	0,221	0,030
ln tamaño.2	0,362	1	0,362	10,464	0,232	0,029
ln tamaño.3	0,052	1	0,052	0,212	0,648	0,004
ln tamaño.4	0,056	1	0,056	0,225	0,637	0,005
ln tamaño.5	0,114	1	0,114	0,463	0,499	0,009
ln tamaño.6	0,065	1	0,065	0,263	0,610	0,005
FTSE	90,535E-007	1	90,535E-007	0,000	0,998	0,000
Error	120,099	49	0,247			

Comparaciones múltiples y comparaciones *post hoc*

1. Tiempo

Tabla 178. Estimaciones

Q de Tobin	Media	Error típico	Intervalo de confianza 95%	
			Límite inferior	Límite superior
1	0,344 ^a	0,029	0,287	0,402
2	0,365 ^a	0,030	0,305	0,426
3	0,371 ^a	0,029	0,313	0,429
4	0,364 ^a	0,030	0,302	0,425
5	0,360 ^a	0,030	0,299	0,421
6	0,356 ^a	0,029	0,297	0,415

Tabla 179. Comparaciones por pares

(I) Q de Tobin	(J) Q de Tobin	Diferencia de medias (I-J)	Error típico	Sig. ^a	Intervalo de confianza al 95 % para la diferencia ^a	
					Límite inferior	Límite superior
1	2	-0,021	0,009	0,277	-0,047	0,006
	3	-0,026	0,012	0,468	-0,063	0,010
	4	-0,019	0,011	10,000	-0,055	0,016
	5	-0,016	0,014	10,000	-0,058	0,026
	6	-0,012	0,022	10,000	-0,079	0,055
2	1	0,021	0,009	0,277	-0,006	0,047
	3	-0,006	0,011	10,000	-0,040	0,029
	4	0,002	0,011	10,000	-0,031	0,034
	5	0,005	0,012	10,000	-0,033	0,043
	6	0,009	0,021	10,000	-0,055	0,073
3	1	0,026	0,012	0,468	-0,010	0,063
	2	0,006	0,011	10,000	-0,029	0,040
	4	0,007	0,007	10,000	-0,014	0,028
	5	0,011	0,010	10,000	-0,019	0,040
	6	0,014	0,018	10,000	-0,042	0,071
4	1	0,019	0,011	10,000	-0,016	0,055
	2	-0,002	0,011	10,000	-0,034	0,031
	3	-0,007	0,007	10,000	-0,028	0,014
	5	0,003	0,006	10,000	-0,014	0,021
	6	0,007	0,018	10,000	-0,047	0,062
5	1	0,016	0,014	10,000	-0,026	0,058
	2	-0,005	0,012	10,000	-0,043	0,033
	3	-0,011	0,010	10,000	-0,040	0,019
	4	-0,003	0,006	10,000	-0,021	0,014
	6	0,004	0,016	10,000	-0,045	0,053
6	1	0,012	0,022	10,000	-0,055	0,079
	2	-0,009	0,021	10,000	-0,073	0,055
	3	-0,014	0,018	10,000	-0,071	0,042
	4	-0,007	0,018	10,000	-0,062	0,047
	5	-0,004	0,016	10,000	-0,053	0,045

Tabla 180. Contrastes multivariados

	Valor	F	Gl de la hipótesis	Gl del error	Sig.	Eta al cuadrado parcial
Traza de Pillai	0,156	10,659 ^a	50,000	450,000	0,164	0,156
Lambda de Wilks	0,844	10,659 ^a	50,000	450,000	0,164	0,156
Traza de Hotelling	0,184	10,659 ^a	50,000	450,000	0,164	0,156
Raíz mayor de Roy	0,184	10,659 ^a	50,000	450,000	0,164	0,156

2. FTSE * Tiempo

Tabla 181. Estimaciones

FTSE	Q de Tobin	Media	Error típico	Intervalo de confianza 95%	
				Límite inferior	Límite superior
0	1	0,357 ^a	0,041	0,275	0,440
	2	0,359 ^a	0,043	0,273	0,445
	3	0,379 ^a	0,041	0,296	0,461
	4	0,375 ^a	0,043	0,288	0,462
	5	0,366 ^a	0,043	0,279	0,453
	6	0,324 ^a	0,042	0,240	0,408
1	1	0,331 ^a	0,056	0,219	0,443
	2	0,371 ^a	0,058	0,254	0,489
	3	0,363 ^a	0,056	0,250	0,476
	4	0,352 ^a	0,059	0,233	0,471
	5	0,354 ^a	0,059	0,236	0,473
	6	0,389 ^a	0,057	0,274	0,503

3. FTSE

Tabla 182. Estimaciones

FTSE	Media	Error típico	Intervalo de confianza 95%	
			Límite inferior	Límite superior
0	0,360 ^a	0,040	0,279	0,441
1	0,360 ^a	0,055	0,250	0,470

Tabla 183. Comparaciones por pares

(I)FTSE	(J)FTSE	Diferencia de medias (I-J)	Error típico	Sig. ^a	Intervalo de confianza al 95 % para la diferencia ^a	
					Límite inferior	Límite superior
0	1	0,000	0,078	0,998	-0,157	0,157
1	0	0,000	0,078	0,998	-0,157	0,157

Tabla 184. Contrastes univariados

	Suma de cuadrados	gl	Media cuadrática	F	Sig.	Eta al cuadrado parcial
Contraste	10,589E-007	1	10,589E-007	0,000	0,998	0,000
Error	20,017	49	0,041			

2.7. Beneficio por acción (Tablas 185 -196)

Tabla 185. Prueba de Box sobre la igualdad de las matrices de covarianzas^a

M de Box	1910,468
F	70,955
gl1	21
gl2	73490,955
Sig.	0,000

Tabla 186. Prueba de esfericidad de Mauchly^a

Efecto intra-sujetos	W de Mauchly	Chi-cuadrado aprox.	gl	Sig.	Epsilon ^b		
					Greenhouse-Geisser	Huynh-Feldt	Límite-inferior
Beneficio por acción	0,001	3330,764	14	0,000	0,327	0,385	0,200

Tabla 187. Pruebas de efectos intra-sujetos

Origen		Suma de cuadrados tipo III	gl	Media cuadrática	F	Sig.	Eta al cuadrado parcial	
Beneficio por acción	Esfericidad asumida	250,402	5	50,080	0,939	0,456	0,019	
	Greenhouse-Geisser	250,402	10,635	150,537	0,939	0,379	0,019	
	Huynh-Feldt	250,402	10,925	130,194	0,939	0,392	0,019	
	Límite-inferior	250,402	10,000	250,402	0,939	0,337	0,019	
Beneficio por acción *	In tamaño.1	Esfericidad asumida	220,140	5	40,428	0,818	0,538	0,016
		Greenhouse-Geisser	220,140	10,635	130,542	0,818	0,423	0,016
		Huynh-Feldt	220,140	10,925	110,500	0,818	0,440	0,016
		Límite-inferior	220,140	10,000	220,140	0,818	0,370	0,016
Beneficio por acción *	In tamaño.2	Esfericidad asumida	70,263	5	10,453	0,268	0,930	0,005
		Greenhouse-Geisser	70,263	10,635	40,442	0,268	0,720	0,005
		Huynh-Feldt	70,263	10,925	30,772	0,268	0,757	0,005
		Límite-inferior	70,263	10,000	70,263	0,268	0,607	0,005
Beneficio por acción *	In tamaño.3	Esfericidad asumida	30,663	5	0,733	0,135	0,984	0,003
		Greenhouse-Geisser	30,663	10,635	20,240	0,135	0,832	0,003
		Huynh-Feldt	30,663	10,925	10,903	0,135	0,866	0,003
		Límite-inferior	30,663	10,000	30,663	0,135	0,714	0,003

Tabla 187. Pruebas de efectos intra-sujetos (Continuación)

Origen		Suma de cuadrados tipo III	gl	Media cuadrática	F	Sig.	Eta al cuadrado parcial
Beneficio por acción * In tamaño.4	Esfericidad asumida	40,660	5	0,932	0,172	0,973	0,004
	Greenhouse-Geisser	40,660	10,635	20,850	0,172	0,799	0,004
	Huynh-Feldt	40,660	10,925	20,421	0,172	0,834	0,004
	Límite-inferior	40,660	10,000	40,660	0,172	0,680	0,004
Beneficio por acción * In tamaño.5	Esfericidad asumida	240,873	5	40,975	0,919	0,469	0,018
	Greenhouse-Geisser	240,873	10,635	150,214	0,919	0,386	0,018
	Huynh-Feldt	240,873	10,925	120,919	0,919	0,399	0,018
	Límite-inferior	240,873	10,000	240,873	0,919	0,342	0,018
Beneficio por acción * In tamaño.6	Esfericidad asumida	340,007	5	60,801	10,257	0,283	0,025
	Greenhouse-Geisser	340,007	10,635	20,801	10,257	0,285	0,025
	Huynh-Feldt	340,007	10,925	170,664	10,257	0,288	0,025
	Límite-inferior	340,007	10,000	340,007	10,257	0,268	0,025
Beneficio por acción * FTSE	Esfericidad asumida	20,515	5	40,103	0,758	0,581	0,015
	Greenhouse-Geisser	20,515	10,635	120,549	0,758	0,447	0,015
	Huynh-Feldt	20,515	10,925	10,656	0,758	0,467	0,015
	Límite-inferior	20,515	10,000	20,515	0,758	0,388	0,015
Error (Beneficio por acción)	Esfericidad asumida	13250,623	245	50,411			
	Greenhouse-Geisser	13250,623	80,110	160,548			
	Huynh-Feldt	13250,623	940,336	140,052			
	Límite-inferior	13250,623	490,000	270,054			

Tabla 188. Contraste de Levene sobre la igualdad de las varianzas error^a

	F	gl1	gl2	Sig.
BENEFICIO POR ACCIÓN.1	20,849	1	55	0,097
BENEFICIO POR ACCIÓN.2	10,755	1	55	0,191
BENEFICIO POR ACCIÓN.3	10,358	1	55	0,249
BENEFICIO POR ACCIÓN.4	0,606	1	55	0,440
BENEFICIO POR ACCIÓN.5	0,959	1	55	0,332
BENEFICIO POR ACCIÓN.6	10,816	1	55	0,183

Tabla 189. Pruebas de los efectos inter-sujetos

Origen	Suma de cuadrados tipo III	gl	Media cuadrática	F	Sig.	Eta al cuadrado parcial
Intersección	260,440	1	260,440	0,211	0,648	0,004
In tamaño.1	2360,700	1	2360,700	10,885	0,176	0,037
In tamaño.2	230,097	1	230,097	0,184	0,670	0,004
In tamaño.3	470,679	1	470,679	0,380	0,541	0,008
In tamaño.4	0,032	1	0,032	0,000	0,987	0,000
In tamaño.5	1080,482	1	1080,482	0,864	0,357	0,017
In tamaño.6	1550,859	1	1550,859	10,241	0,271	0,025
FTSE	1570,919	1	1570,919	10,258	0,268	0,025
Error	61510,970	49	1250,550			

Comparaciones múltiples y comparaciones *post hoc*

1. Tiempo

Tabla 190. Estimaciones

Beneficio por acción	Media	Error típico	Intervalo de confianza 95%	
			Límite inferior	Límite superior
1	10,436 ^a	0,508	0,415	20,458
2	10,290 ^a	0,591	0,102	20,477
3	10,206 ^a	0,685	-0,171	20,583
4	10,436 ^a	0,717	-0,005	20,877
5	10,188 ^a	0,820	-0,460	20,836
6	10,316 ^a	0,841	-0,374	30,006

Tabla 191. Comparaciones por pares

(I)Beneficio por acción	(J)Beneficio por acción	Diferencia de medias (I-J)	Error típico	Sig. ^a	Intervalo de confianza al 95 % para la diferencia ^a	
					Límite inferior	Límite superior
1	2	0,147	0,167	10,000	-0,368	0,662
	3	0,231	0,238	10,000	-0,505	0,966
	4	0,001	0,282	10,000	-0,870	0,872
	5	0,249	0,444	10,000	-10,121	10,619
	6	0,120	0,723	10,000	-20,112	20,353
2	1	-0,147	0,167	10,000	-0,662	0,368
	3	0,084	0,150	10,000	-0,380	0,548
	4	-0,146	0,192	10,000	-0,737	0,445
	5	0,102	0,339	10,000	-0,945	10,149
	6	-0,026	0,692	10,000	-20,163	20,110
3	1	-0,231	0,238	10,000	-0,966	0,505
	2	-0,084	0,150	10,000	-0,548	0,380
	4	-0,230	0,106	0,524	-0,557	0,097
	5	0,018	0,250	10,000	-0,752	0,788
	6	-0,110	0,683	10,000	-20,219	10,999
4	1	-0,001	0,282	10,000	-0,872	0,870
	2	0,146	0,192	10,000	-0,445	0,737
	3	0,230	0,106	0,524	-0,097	0,557
	5	0,248	0,205	10,000	-0,384	0,880
	6	0,120	0,708	10,000	-20,065	20,304
5	1	-0,249	0,444	10,000	-10,619	10,121
	2	-0,102	0,339	10,000	-10,149	0,945
	3	-0,018	0,250	10,000	-0,788	0,752
	4	-0,248	0,205	10,000	-0,880	0,384
	6	-0,128	0,733	10,000	-20,390	20,134
6	1	-0,120	0,723	10,000	-20,353	20,112
	2	0,026	0,692	10,000	-20,110	20,163
	3	0,110	0,683	10,000	-10,999	20,219
	4	-0,120	0,708	10,000	-20,304	20,065
	5	0,128	0,733	10,000	-20,134	20,390

Tabla 192. Contrastes multivariados

	Valor	F	Gl de la hipótesis	Gl del error	Sig.	Eta al cuadrado parcial
Traza de Pillai	0,148	10,563 ^a	50,000	450,000	0,190	0,148
Lambda de Wilks	0,852	10,563 ^a	50,000	450,000	0,190	0,148
Traza de Hotelling	0,174	10,563 ^a	50,000	450,000	0,190	0,148
Raíz mayor de Roy	0,174	10,563 ^a	50,000	450,000	0,190	0,148

2. FTSE * Tiempo

Tabla 193. Estimaciones

FTSE	Beneficio por acción	Media	Error típico	Intervalo de confianza 95%	
				Límite inferior	Límite superior
0	1	20,482 ^a	0,725	10,026	30,939
	2	20,487 ^a	0,842	0,795	40,180
	3	20,480 ^a	0,977	0,517	40,443
	4	20,640 ^a	10,022	0,586	40,694
	5	20,158 ^a	10,169	-0,191	40,508
	6	10,541 ^a	10,199	-0,868	30,950
1	1	0,391 ^a	0,986	-10,592	20,373
	2	0,092 ^a	10,146	-20,211	20,395
	3	-0,069 ^a	10,330	-20,741	20,604
	4	0,231 ^a	10,391	-20,565	30,027
	5	0,217 ^a	10,591	-20,981	30,414
	6	10,091 ^a	10,631	-20,187	40,369

3. FTSE

Tabla 194. Estimaciones

FTSE	Media	Error típico	Intervalo de confianza 95%	
			Límite inferior	Límite superior
0	20,298 ^a	0,910	0,470	40,127
1	0,326 ^a	10,238	-20,163	20,814

Tabla 195. Comparaciones por pares

(I)FTSE	(J)FTSE	Diferencia de medias (I-J)	Error tip.	Sig. ^a	Intervalo de confianza al 95 % para la diferencia ^a	
					Límite inferior	Límite superior
0	1	10,973	10,759	0,268	-10,562	50,507
1	0	-10,973	10,759	0,268	-50,507	10,562

Tabla 196. Contrastes univariados						
	Suma de cuadrados	gl	Media cuadrática	F	Sig.	Eta al cuadrado parcial
Contraste	260,320	1	260,320	10,258	0,268	0,025
Error	10250,328	49	20,925			

